



MINISTÉRIO DA CIÊNCIA E TECNOLOGIA  
**INSTITUTO NACIONAL DE PESQUISAS ESPACIAIS**

## ANÁLISE E SIMULAÇÃO DE REENTRADAS ATMOSFÉRICAS CONTROLADAS

### **RELATÓRIO FINAL DE PROJETO DE INICIAÇÃO CIENTÍFICA (PIBIC/CNPq/INPE)**

**Bolsista - Ariane de Oliveira Braga ( ETEP Faculdades, Bolsista PIBIC/CNPq)**

E-mail: [arianebraga01@hotmail.com](mailto:arianebraga01@hotmail.com)

**Orientador - Dr. Marcelo Lopes de Oliveira e Souza (DMC/ETE/INPE)**

E-mail: [marcelo@dem.inpe.br](mailto:marcelo@dem.inpe.br)

Julho de 2007

## SUMÁRIO

	página
<b>CAPÍTULO 1 - Introdução.....</b>	<b>04</b>
<b>CAPÍTULO 2 - Metodologia.....</b>	<b>05</b>
<b>2.1-Transferência Inversa de Hohmann.....</b>	<b>05</b>
<b>2.2-Transferência Inversa de Breakwell.....</b>	<b>12</b>
<b>2.4-Simulações Numéricas.....</b>	<b>16</b>
<b>2.3-Transferência Orbital com Força de Arrasto Atmosférico.....</b>	<b>18</b>
<b>CAPÍTULO 3 - Conclusões, Comentários e Sugestões para o Prosseguimento do Trabalho.</b>	<b>23</b>
<b>Referências Bibliográficas.....</b>	<b>24</b>
<b>Apêndice A – Programas e simulações da órbita elíptica (Transferência de Hohmann)</b>	
<b>Desenvolvido por Flávio Francesco Soares Schmidt em Matlab.....</b>	<b>25</b>
<b>Apêndice B – Programas e simulações da órbita elíptica (Transferência de Breakwell)</b>	
<b>Desenvolvido por Flávio Francesco Soares Schmidt em Matlab.....</b>	<b>45</b>
<b>Apêndice C – Programas e simulações com força de arrasto atmosférico desenvolvido</b>	
<b>. Rolf Henry Vargas Valdivia em Matlab.....</b>	<b>55</b>
<b>Apêndice D – Estudo sobre a Integração Numérica de Equações Diferenciais Ordinárias....</b>	<b>60</b>
<b>D.1-Introdução.....</b>	<b>60</b>
<b>D.2-1º Método de Euler.....</b>	<b>60</b>
<b>D.3-Métodos de Runge-Kutta.....</b>	<b>62</b>
<b>D.4-Conclusão .....</b>	<b>64</b>
<b>Apêndice E – Estudo sobre MATLAB.....</b>	<b>65</b>
<b>E.1-Introdução.....</b>	<b>65</b>
<b>E.2-Definição de Matrizes no MATLAB.....</b>	<b>65</b>
<b>E.3-Cálculos Fundamentais.....</b>	<b>65</b>
<b>E.4-Gráficos X-Y.....</b>	<b>66</b>
<b>E.5-Equações Diferenciais Ordinárias.....</b>	<b>68</b>
<b>E.6-Conclusão.....</b>	<b>71</b>

## LISTA DE FIGURAS E TABELAS

	Páginas
Figura 1- Uma Transferência Inversa de Hohmann.....	05
Figura 2- Trajetória Final em Espiral.....	06
Figura 3- Uma Transferência Inversa de Hohmann e Trajetória Final em Espiral.....	07
Figura 4- Duas Transferências Inversas de Hohmann e Trajetória Final em Espiral.....	08
Figura 5- Três Transferências Inversas de Hohmann e Trajetória Final em Espiral.....	09
Figura 6- Transferência Inversa de Hohmann .....	11
Figura 7- Três Transferências Inversas de Breakwell.....	12
Figura 8- Trajetória Final em Espiral.....	13
Figura 9- Duas Transferências Inversas de Breakwell e Trajetória Final em Espiral.....	14
Figura 10- Transferências Inversas de Breakwell.....	15
Tabela 1- Sequência Simplificada da Reentrada do CGRO.....	17
Figura 11- Decaimento com Força de Arrasto Atmosférico.....	18
Figura 12- Decaimento Orbital Ampliado.....	19
Tabela 2- Densidade Atmosférica em Função da Altitude.....	20
Figura 13- Transferência Orbital com Densidade Variando.....	20
Figura 14- Comparação com Densidade Constante e Variando.....	21
Tabela 3- Modelo Exponencial.....	22
Figura 15- Transferência Orbital Com Modelo Exponencial.....	22
Figura D.1 - 1º. Método de Euler .....	60
Tabela D.1 - 1º. Método de Euler.....	62
Tabela D.2 - 1º. Método de Euler calculado pelo Excel.....	62
Tabela D.3 - Método de Runge-Kutta calculado pelo Excel.....	64
Figura E.1- Gráfico X-Y.....	68
Figura E.2- Resolução da Equação Diferencial.....	70
Figura E.3 Equação Diferencial de Van Der Pol.....	71

# CAPÍTULO 1

## Introdução

**BREVE HISTÓRICO:** No período de Fevereiro de 2006 até Julho de 2006, foram realizados: 1) Nossa introdução ao tema: “Reentradas Atmosféricas Controladas”, tratando do retorno controlado de um veículo espacial para dentro da atmosfera da Terra; 2) Uma análise de alguns casos recentes como o do “Compton Gama Ray Observatory-CGRO” para melhor entendimento do trabalho; 3) Um estudo sobre a transferência inversa de Hohmann e a transferência inversa de Breakwell, dentre diversas estratégias para realizar o decaimento orbital controlado envolvendo órbitas circulares e elípticas usando modelos já existentes como o do CGRO. Os resultados e conclusões estão no Relatório Final “Análise e Simulação de Reentradas Atmosféricas Controladas” e foram apresentados no Seminário de Iniciação Científica (SICINPE 2006), nos dias 11 e 12 de Julho de 2006.

**OBJETIVOS E ESTRUTURA DESTE RELATÓRIO:** O objetivo deste Relatório é descrever os trabalhos realizados no período de Agosto de 2006 até o início de Julho de 2007, dando continuidade aos resultados da pesquisa anterior incluindo: 1) programas do Matlab para simular o decaimento orbital controlado usando a transferência inversa de Hohmann e a transferência inversa de Breakwell; 2) o cálculo da reentrada simplificada do Observatório Compton de Raios Gama que foi um dos casos recentes apresentados no Relatório Final de Julho de 2006; 3) o estudo de transferência orbital com força de arrasto atmosférico, simulando programas no Matlab.

## CAPÍTULO 2 - Metodologia

### 2.1 - Transferência Inversa de Hohmann

A Transferência Inversa de Hohmann com decaimento orbital controlado é a partir de uma órbita circular, que são aplicados dois impulsos necessários para desacelerar o movimento orbital do satélite e levá-lo a outra órbita circular menor. Para simular essa transferência foi realizado alguns programas no Matlab como modelos para melhor compreensão, que são mostrados a seguir:

O programa “orb\_hoh2\_old ” (vide Apêndice 1, Programa 1), simula a aplicação de dois impulsos. Numa órbita inicialmente circular, é aplicado ao satélite o impulso no ponto da órbita que representa o apogeu da órbita elíptica de transferência que começa a ser percorrida pelo satélite. Quando o satélite atinge o perigeu dessa órbita elíptica de transferência outro impulso é aplicado de modo a torná-la circular novamente no raio final desejado, como mostrado na Figura 1 abaixo:

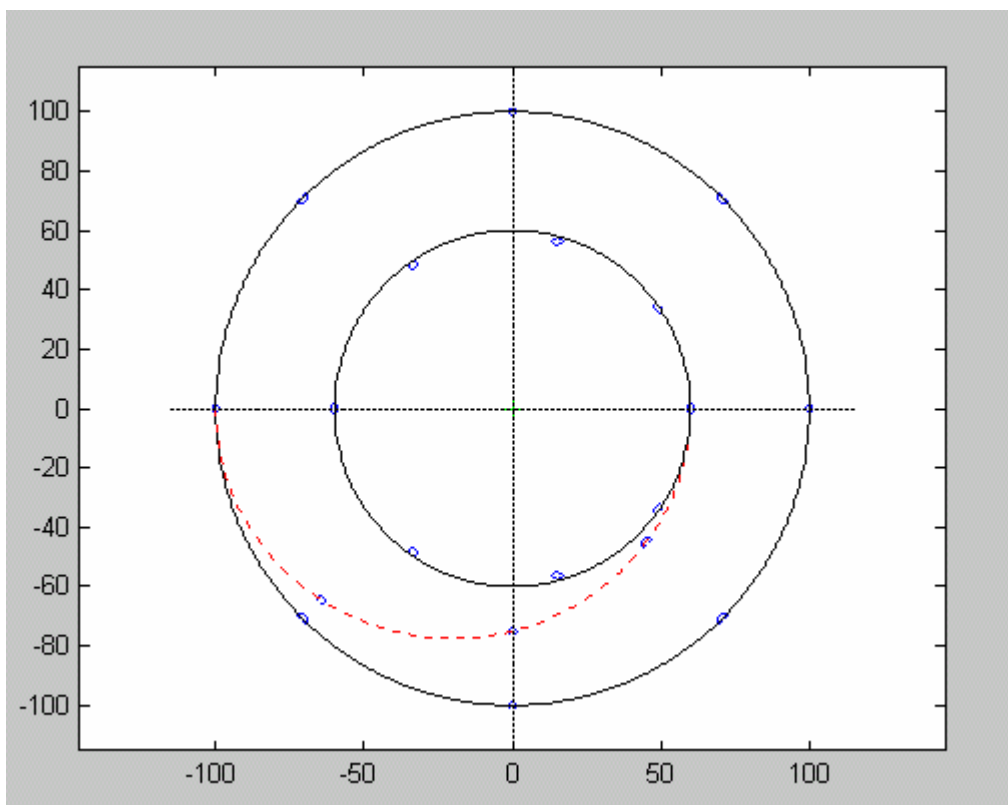


Figura 1- Uma Transferência Inversa de Hohmann.

O programa “espiral\_elipsecte ”(vide Apêndice 1, Programa 2), simula a parte final de uma reentrada com uma trajetória final em espiral até atingir uma região segura da Terra, como mostrado na Figura 2 abaixo:

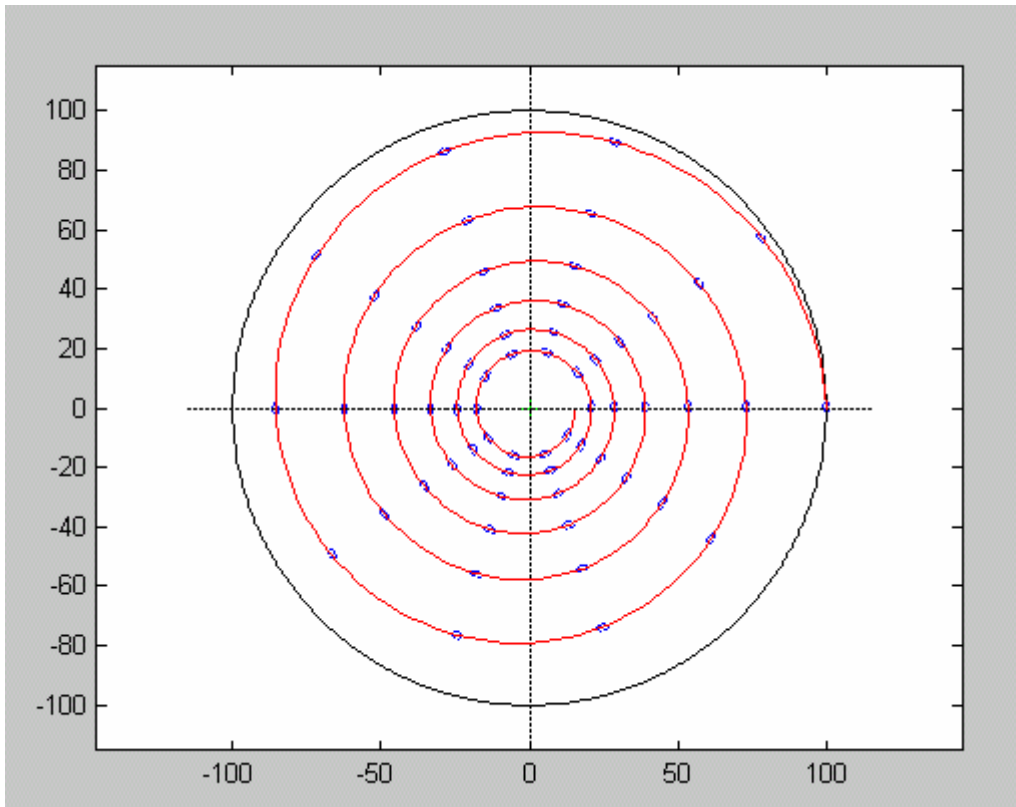


Figura 2- Trajetória Final em Espiral

O programa “orb\_hoh4 ”(vide Apêndice 1, Programa 3), é formado pelos programas anteriores “orb\_hoh2\_old” e “espiral\_elipsecte ” que simula aplicação dos dois impulsos necessários para desacelerar o movimento orbital do satélite e levá-lo a outra órbita circular menor, finalizando a órbita final com espiral visando impactar uma região segura da superfície da Terra, como mostra a Figura 3 abaixo:

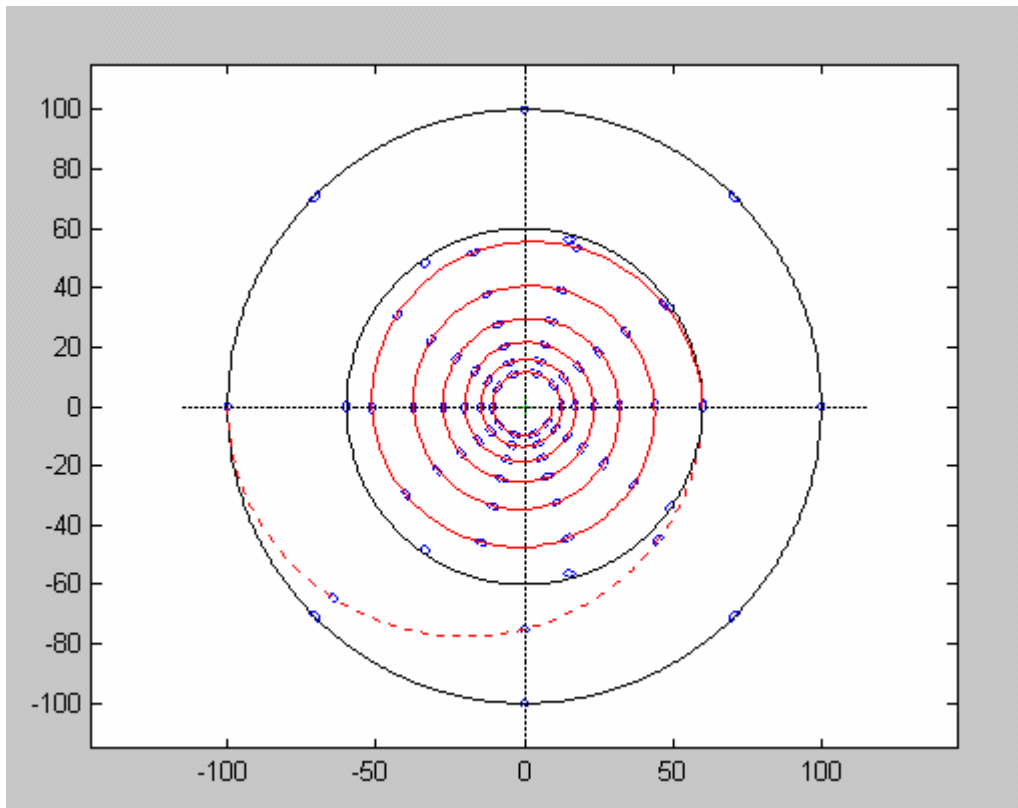


Figura 3 – Uma Transferência Inversa de Hohmann e Trajetória Final em Espiral.

O programa do Matlab “orb\_hoh2”(vide Apêndice 1, Programa 4), simula duas transferências inversas de Hohmann levando o satélite para uma órbita circular menor e finalizando a órbita com o programa “espiral\_ellipse” com a órbita espiral, como mostra a Figura 4 abaixo:

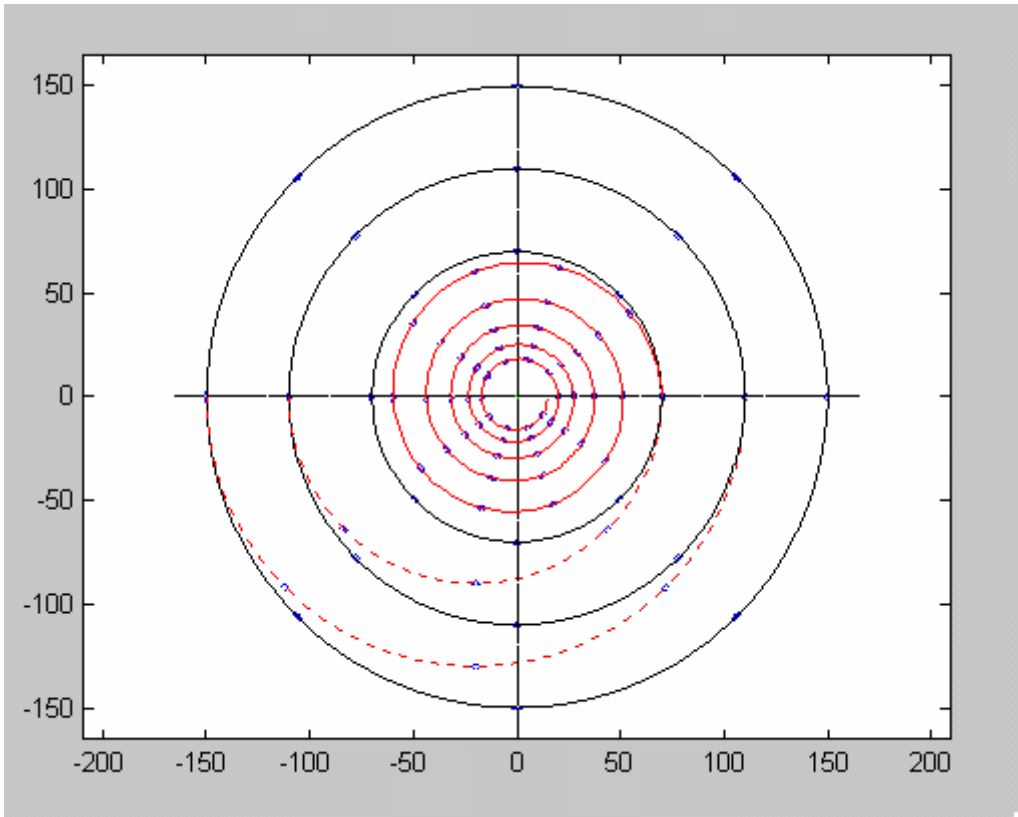


Figura 4- Duas Transferências Inversas de Hohmann e Trajetória Final em Espiral.

O programa do Matlab “orb\_hoh22 ”(vide Apêndice 1, Programa 5), simula três transferências inversas de Hohmann levando o satélite para uma órbita circular menor e finalizando a órbita com o programa “espiral\_elipsecte ” com a órbita espiral, como mostra a Figura 5 abaixo:

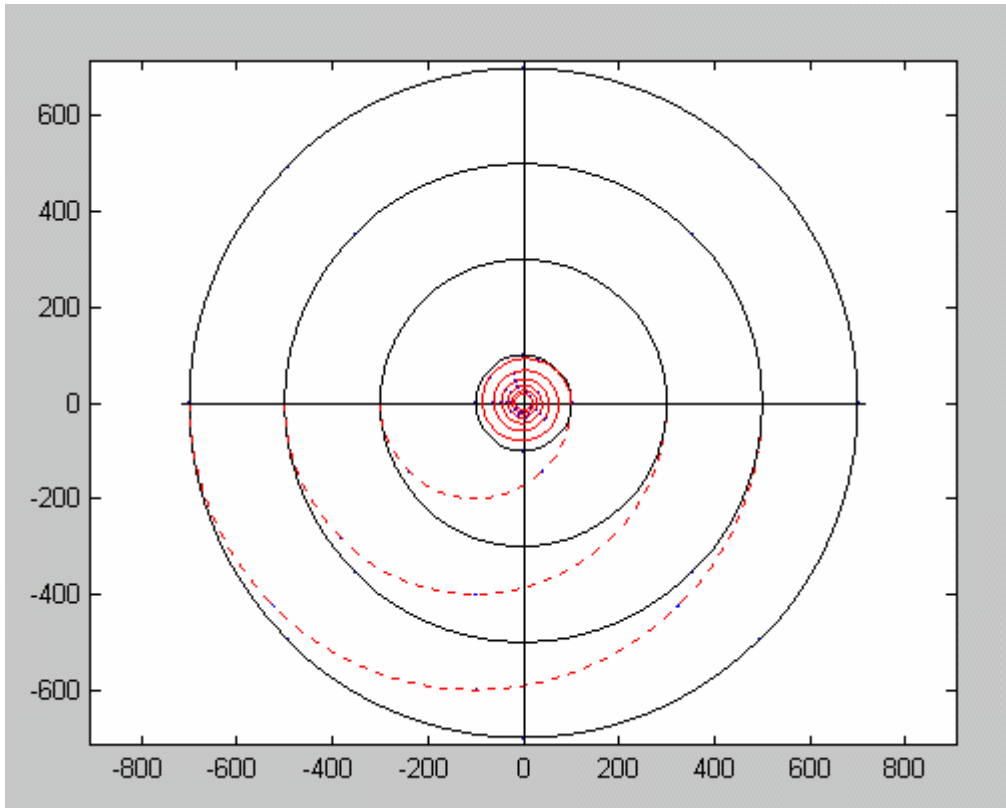


Figura 5 - Três Transferências Inversas de Hohmann e Trajetória Final em Espiral.

Para determinar os impulsos utilizamos as seguintes equações:

A partir da órbita inicial, o primeiro impulso é aplicado quando o veículo está no apogeu da órbita elíptica de transferência, de acordo com as equações:

$$\frac{\Delta V_i}{V_{c_i}} = \sqrt{\frac{\frac{2r_f}{r_i}}{1 + \frac{r_f}{r_i}}} - 1$$

Portanto:

$$\frac{\Delta V_i}{V_{c_i}} = \sqrt{\frac{2r_f}{r_i + r_f}} - 1$$

O segundo impulso é aplicado quando o veículo está no perigeu da órbita elíptica de transferência, e esse impulso circulariza a órbita no raio final desejado, de acordo com as equações:

$$\frac{\Delta V_f}{V_{c_i}} = \sqrt{\frac{1}{\frac{r_f}{r_i}}} - \sqrt{\frac{\frac{2r_f}{r_i}}{\frac{r_f}{r_i} \left(1 + \frac{r_f}{r_i}\right)}}$$

Portanto:

$$\frac{\Delta V_f}{V_{c_i}} = \sqrt{\frac{r_i}{r_f}} - \sqrt{\frac{2r_i}{r_i + r_f}}$$

Onde:  $V_{c_i}$  é velocidade inicial na órbita circular.

$\Delta V_i$  e  $\Delta V_f$  são os impulsos nas órbitas inicial e final.

$r_i$  e  $r_f$  são raios da órbita inicial e da órbita final.

Utilizando as equações anteriores, temos a seguir a simulação de um modelo da Transferência Inversa de Hohmann.

O programa do Matlab “orb\_raio0”(vide Apêndice 1, Programa 6), simula a aplicação de dois impulsos, onde temos o raio inicial, raio final das órbitas circulares e o delta velocidade que são os impulsos aplicados nas órbitas iniciais e finais, como mostra a Figura 6 abaixo:

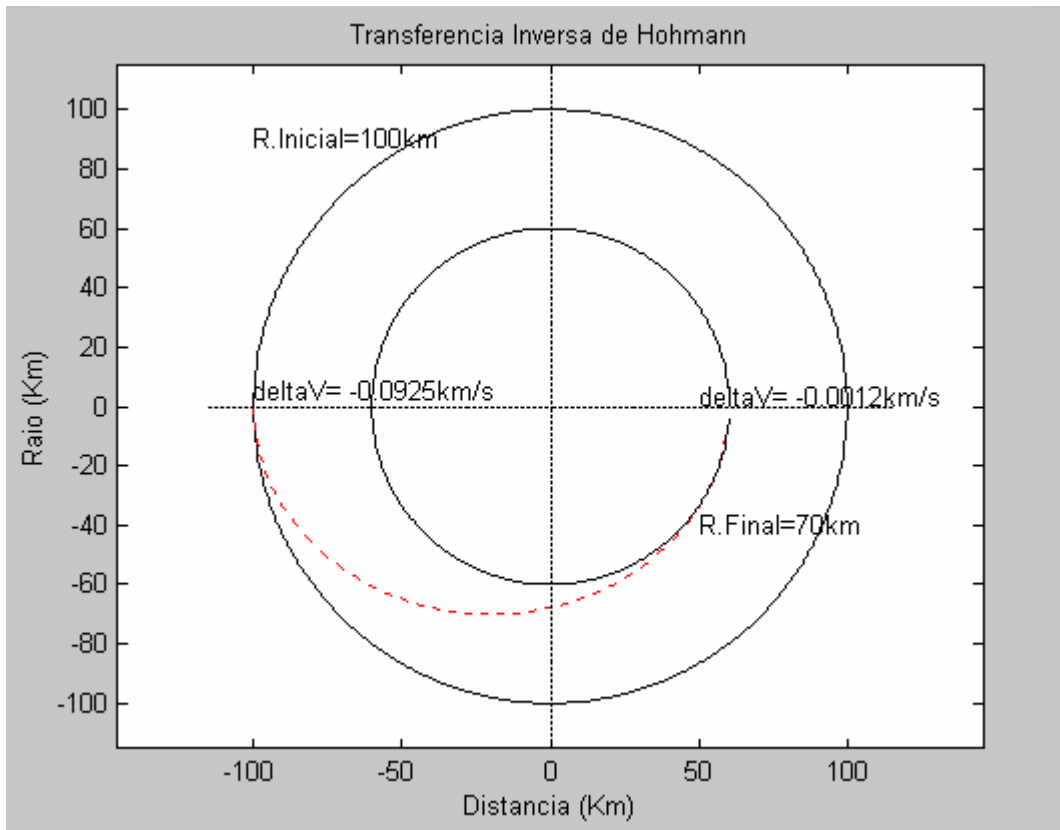


Figura 6 –Transferência Inversa de Hohmann

## 2.2 - Transferência Inversa de Breakwell

A Transferência Inversa de Breakwell é uma órbita elíptica, onde é aplicado um impulso necessários para desacelerar o movimento orbital do satélite e levá-lo a outra órbita elíptica. A partir da órbita inicial, o impulso é aplicado quando o veículo está no apogeu da órbita elíptica inicial, reduzindo o perigeu e alterando a excentricidade. Para simular essa transferência foi realizado alguns programas no Matlab como modelos para melhor compreensão, que são mostrado a seguir:

O programa “orb\_elip\_ff” (vide Apêndice 2, Programa 1), simula repetidamente a aplicação de um impulso quando o veículo está no apogeu da órbita inicial=1 e reduzindo o perigeu da órbita final=2, como mostra a Figura 7 abaixo:

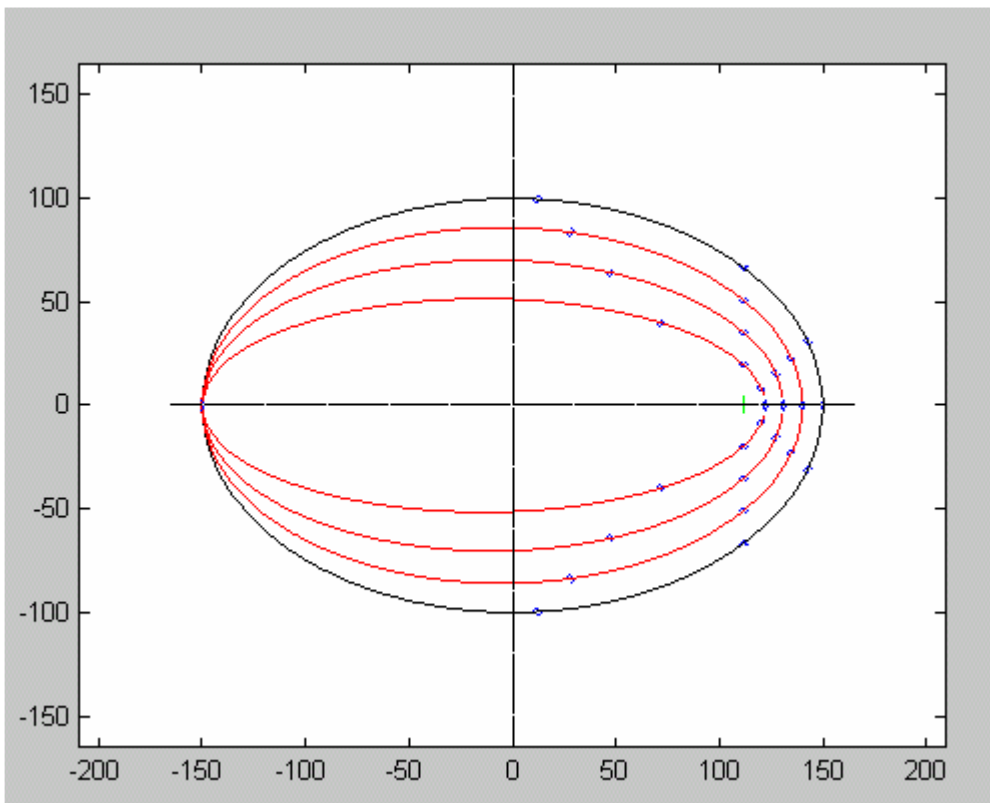


Figura 7- Três Transferências Inversas de Breakwell.

O programa “`espiral_breakwell` ”(vide Apêndice 2, Programa 2), simula a parte final de uma reentrada com uma trajetória final em espiral até atingir uma região segura da Terra, como mostra a Figura 8 abaixo:

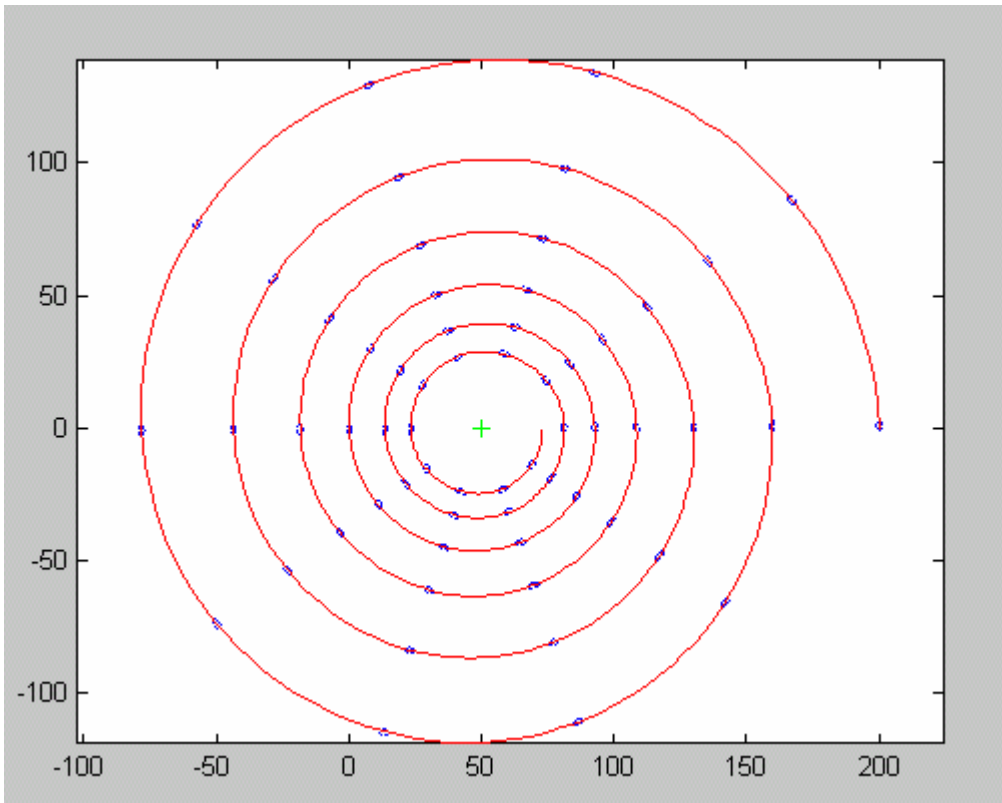


Figura 8- Trajetória Final em Espiral.

O programa “breakwell\_auto1 ”(vide Apêndice 2, Programa 3), é formado pelos programas anteriores “orb\_elip\_ff” e “espiral\_breakwell” que simula repetidamente a aplicação de um impulso quando o veículo está no apogeu da órbita inicial=1 e reduzindo o perigeu da órbita final=2, finalizando a órbita com o programa “espiral\_breakwell” com a órbita espiral até atingir uma região segura da superfície da Terra, como mostra a Figura 9 abaixo:

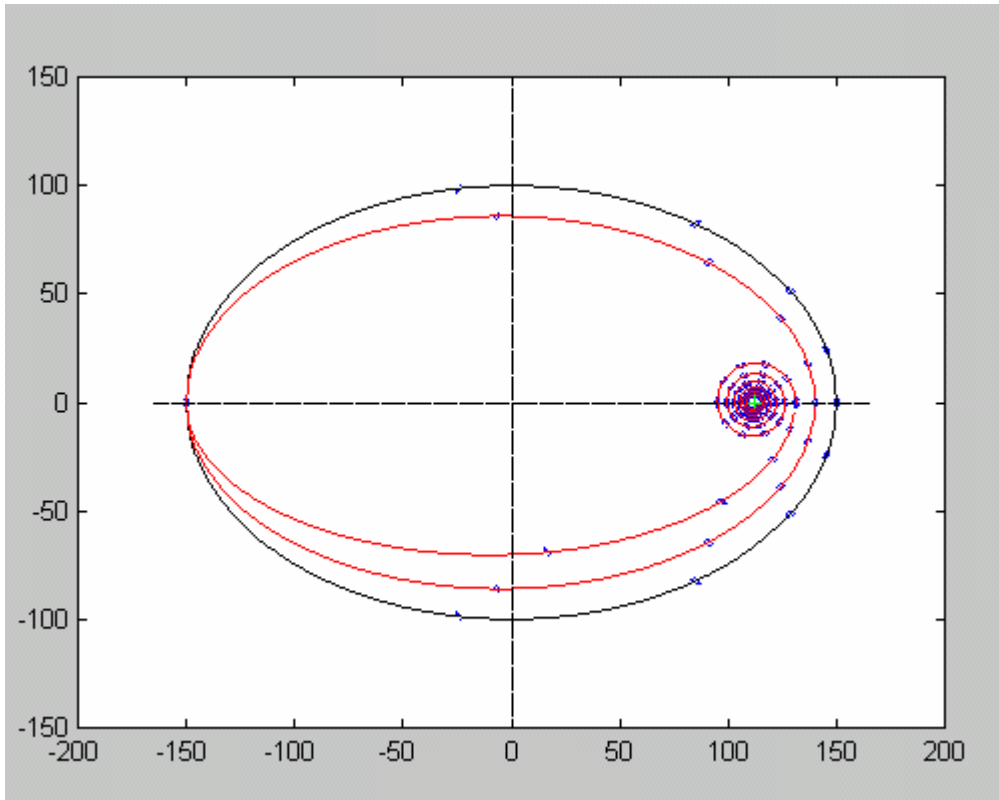


Figura 9- Duas Transferências Inversas de Breakwell e Trajetória Final em Espiral.

O programa “breakwell1”(vide Apêndice 2, Programa 4), simula repetidamente a aplicação de alguns impulsos que mostra os valores do semi eixo maior, semi eixo menor e também os valores da excentricidade que vai variando de acordo com cada impulso, como mostra a Figura 10 abaixo:

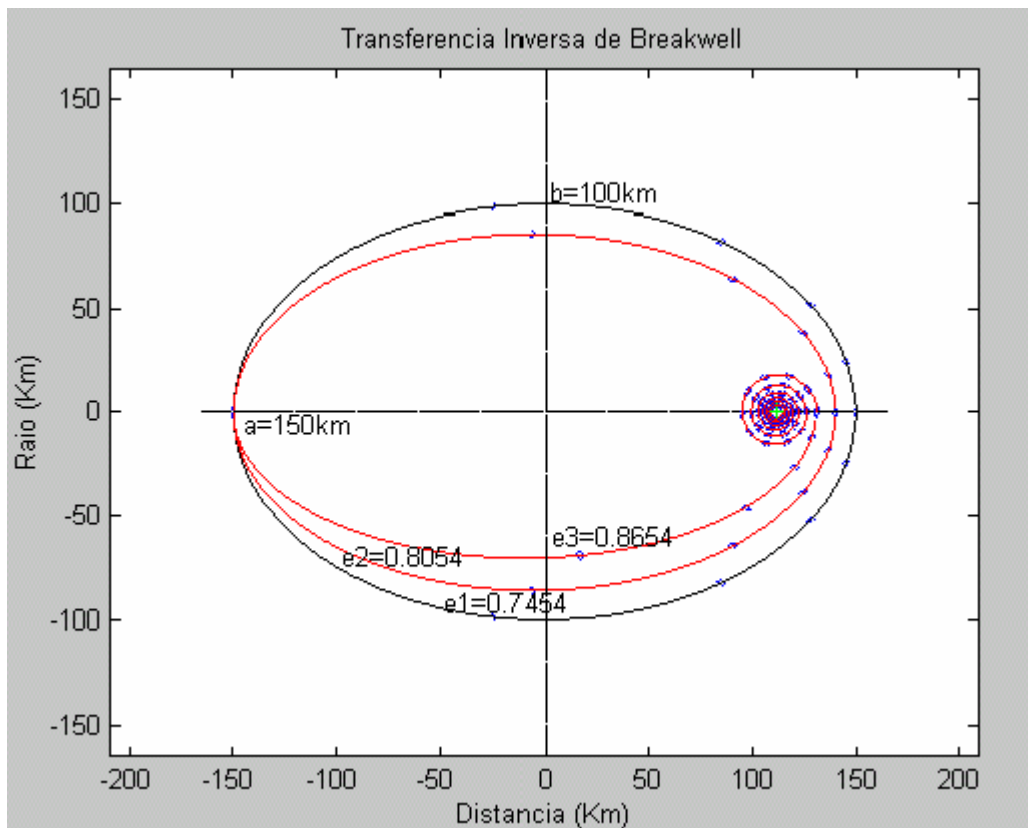


Figura 10- Transferências Inversas de Breakwell

## **2.3 - Simulações Numéricas**

No Relatório Final de Julho de 2006 foi realizado uma pesquisa sobre o Observatório Compton de Raios Gama que foi lançado em abril de 1991 e teve sua reentrada na atmosfera da Terra de forma controlada em 4 de Junho de 2000, após encerrar suas operações devido a falhas de um giroscópio.

### **Seqüência Simplificada da Reentrada do CGRO**

Em 28 de maio 2000

- As cargas desnecessárias da configuração/ verificação geral da nave espacial (instrumentos) foram desligadas.

- A engenharia testa a execução de comandos
- Vida de uma órbita: diversos anos

Em 30 de maio 2000 - Impulso número 1

- O impulso1 diminuiu o perigeu de 510 km para 350 km
- Vida de uma órbita: ~1 ano

Em 31 de maio 2000 - Impulso número 2

- O impulso 2 diminuiu o perigeu de 350 km para 250 km
- Vida de uma órbita: ~80 dias

Em 4 de junho 2000 - Impulso número 3

- O impulso 3 diminuiu o perigeu de 250 km de 150 km
- Vida de uma órbita: ~3 dias

Em 4 de junho 2000 - Impulso número 4

- A órbita seguinte, executa o impulso 4 para reentrar na atmosfera.
- A nave espacial reentra no alvo

De acordo com os dados obtidos da seqüência simplificada da reentrada do Observatório Compton de Raios Gama, e utilizando as equações abaixo:

$$a_2 = \frac{a_1(1 + e_1)}{(1 + e_2)} \quad V^2 = \mu \left( \frac{1}{r} - \frac{1}{a} \right)$$

Obtivemos os seguintes valores:

Tabela 1- Sequência Simplificada da Reentrada do CGRO

<b>Sequência Simplificada da Reentrada do CGRO</b>			
<b>Data</b>	<b>Altura do Perigeu (R<sub>t</sub>=6378 km)</b>	<b>Exc. e Altura Finais</b>	<b>ΔV (km/s)</b>
30 de Maio de 2000	510km para 350km	e= 0,186 a= 430 km	ΔV= -0,045
31 de Maio de 2000	350km para 250km	e= 0,168 a= 300 km	ΔV= -0,106
04 de Junho de 2000	250km para 150km	e= 0,25 a= 200 km	ΔV= -0,057
04 de Junho de 2000	150km para 84km	e= 0,282 a= 117 km	ΔV= -0,069

## 2.4 - Transferência Orbital com Força de Arrasto Atmosférico

Para demonstrar as transferências orbitais com arrasto atmosférico integraremos numericamente as equações obtidas a partir das Leis de Newton envolvendo as forças gravitacional e de arrasto atmosférico, a saber:

$$\begin{bmatrix} \ddot{x} \\ \ddot{y} \end{bmatrix} = -\frac{\mu}{|\vec{r}|^3} \begin{bmatrix} x \\ y \end{bmatrix} - \frac{Fa}{|\vec{v}|} \begin{bmatrix} \dot{x} \\ \dot{y} \end{bmatrix}$$

Onde:  $\mu=398600 \text{ km}^3/\text{s}^2$  é a constante gravitacional da Terra;

$$|\vec{r}| = (x^2 + y^2)^{1/2} \text{ é o vetor posição ;}$$

$$|\vec{v}| = (\dot{x}^2 + \dot{y}^2)^{1/2} \text{ é o vetor velocidade;}$$

$$Fa = \frac{1}{2} C_D A \rho v^2 \text{ equação da força de arrasto atmosférico, onde } C_D \text{ é o coeficiente de arrasto; } A$$

é a área do satélite;  $\rho$  é a densidade atmosférica;  $v$  vetor velocidade.

O programa “ transf\_arrasto\_modif2 ” (vide Apêndice 3, Programa 1), simula as transferências orbitais com força de arrasto atmosférico. Para realizar o programa foi utilizado as equações anteriores, os comandos de ode com o método de Runge-Kutta 4 ou 5 no Matlab, densidade (constante) e a densidade variando em função da altitude. Desenvolvendo assim o decaimento da orbital, como mostra as Figuras 11 abaixo:

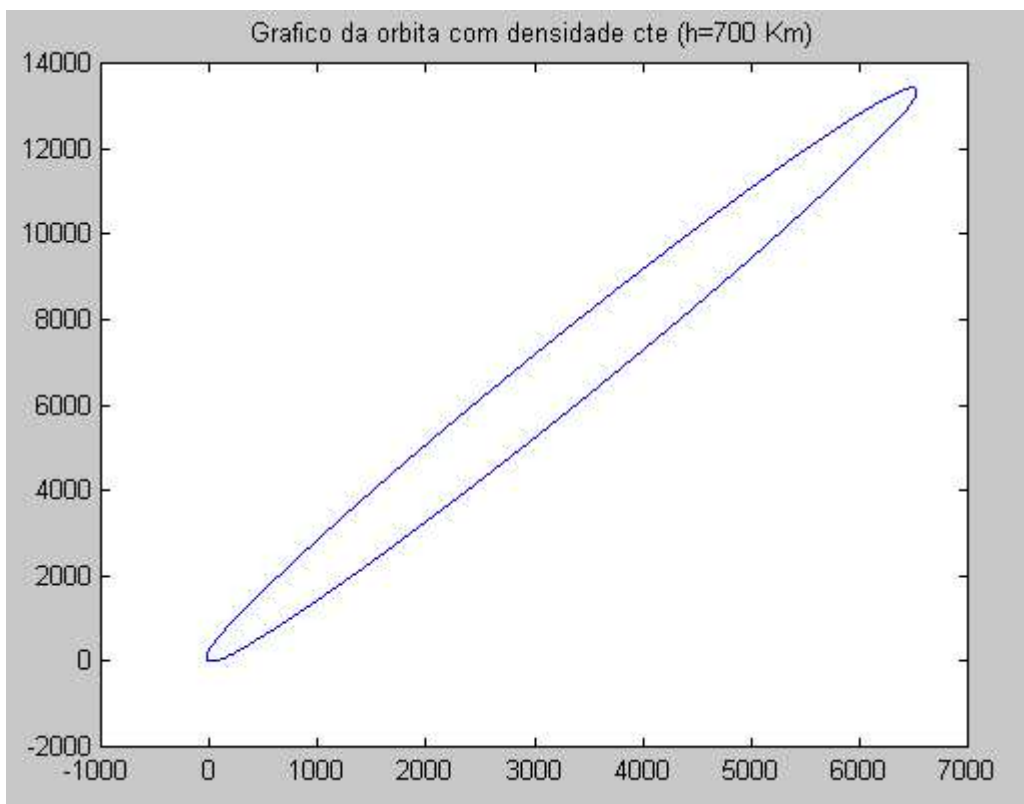


Figura 11- Decaimento com Força de Arrasto Atmosférico

A seguir temos o programa anterior que foi ampliado para melhor visualização do decaimento orbital, como mostra a Figura 12 abaixo:

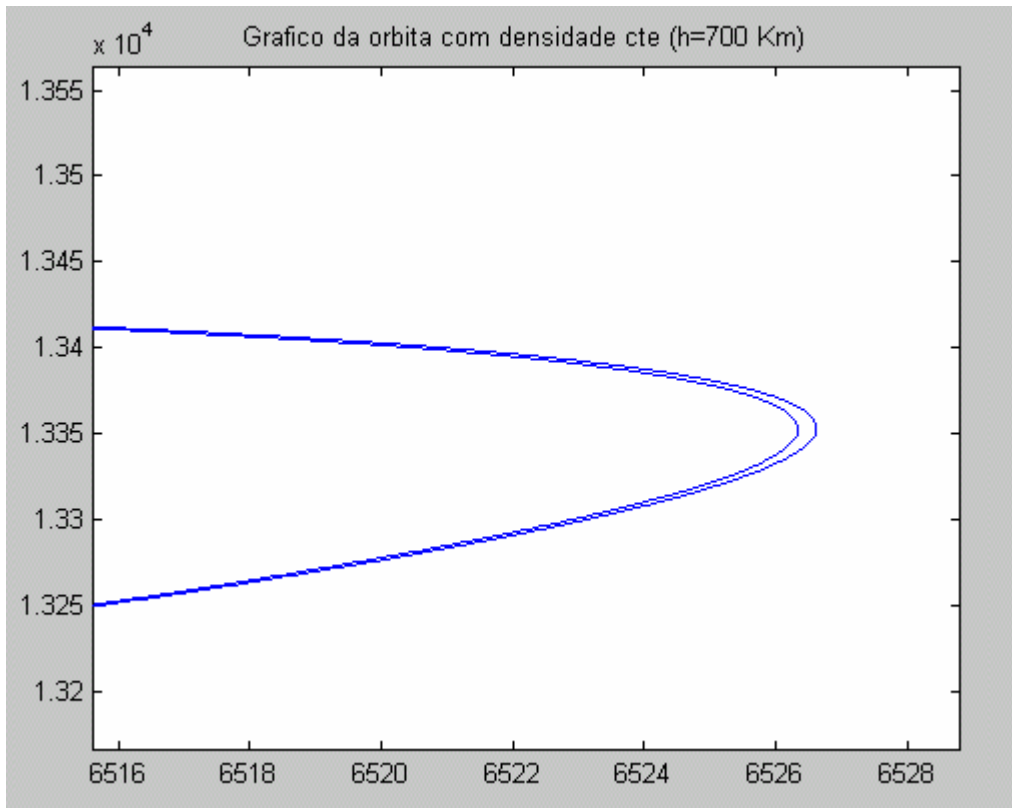


Figura 12-Decaimento Orbital Ampliado

A densidade atmosférica em função da altitude como mostra a tabela 2 :

Tabela 2 - Densidade Atmosférica em Função da Altitude

Altitude (Km)	Densidade (km/m <sup>3</sup> )	Altitude (Km)	Densidade (km/m <sup>3</sup> )	Altitude (Km)	Densidade (km/m <sup>3</sup> )
0	1.225*10 <sup>0</sup>	80	1.905*10 <sup>-5</sup>	200	2.789*10 <sup>-10</sup>
25	3.899*10 <sup>-2</sup>	85	8.337*10 <sup>-6</sup>	250	7.248*10 <sup>-11</sup>
30	1.774*10 <sup>-2</sup>	90	3.396*10 <sup>-6</sup>	300	2.418*10 <sup>-11</sup>
35	8.279*10 <sup>-3</sup>	95	1.343*10 <sup>-6</sup>	350	9.158*10 <sup>-12</sup>
40	3.972*10 <sup>-3</sup>	100	5.597*10 <sup>-7</sup>	400	3.725*10 <sup>-12</sup>
45	1.995*10 <sup>-3</sup>	110	9.661*10 <sup>-8</sup>	450	1.585*10 <sup>-12</sup>
50	1.057*10 <sup>-3</sup>	120	2.438*10 <sup>-8</sup>	500	6.967*10 <sup>-13</sup>
55	5.821*10 <sup>-4</sup>	130	8.484*10 <sup>-9</sup>	600	1.454*10 <sup>-13</sup>
60	3.206*10 <sup>-4</sup>	140	3.845*10 <sup>-9</sup>	700	3.614*10 <sup>-14</sup>
65	1.718*10 <sup>-4</sup>	150	2.070*10 <sup>-9</sup>	800	1.170*10 <sup>-14</sup>
70	8.770*10 <sup>-5</sup>	160	1.244*10 <sup>-9</sup>	900	5.245*10 <sup>-15</sup>
75	4.178*10 <sup>-5</sup>	180	5.464*10 <sup>-10</sup>	1000	3.019*10 <sup>-15</sup>

A seguir temos a Figura 13 que simula o decaimento orbital onde é usado os dados da tabela 2 que representa a densidade atmosférica variando em função da altitude.

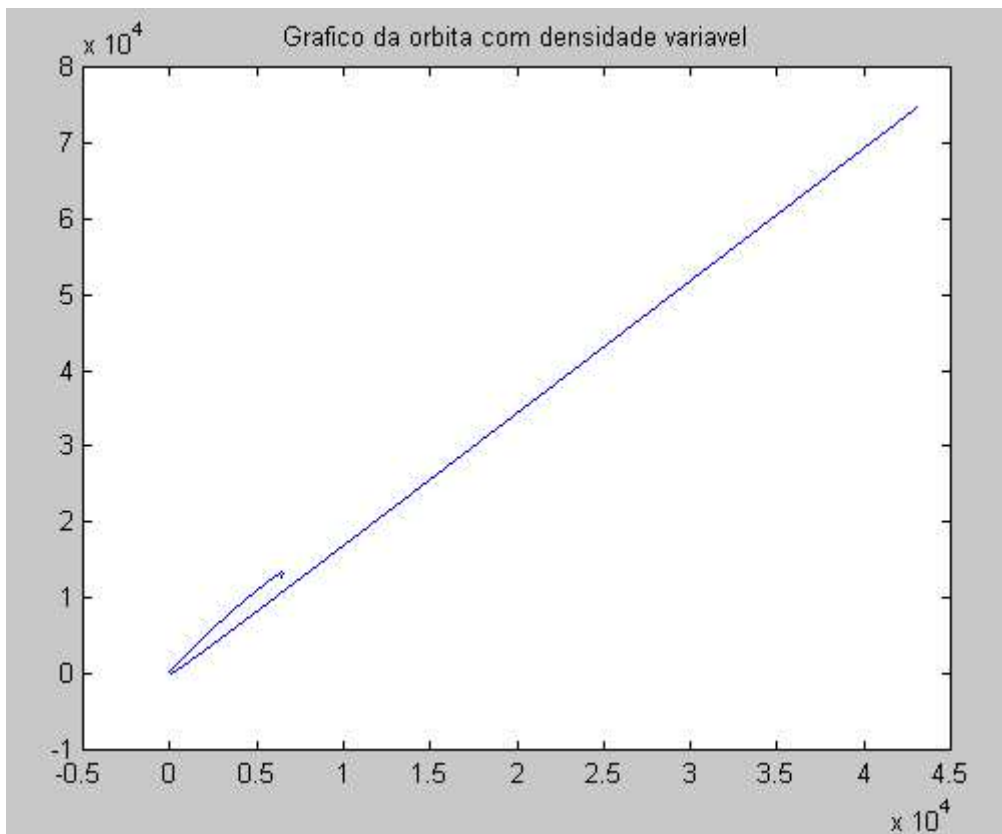


Figura 13- Transferência Orbital com Densidade Variando

A seguir temos a Figura 14 que está comparando as duas orbitas anteriores para uma melhor compreensão do decaimento.

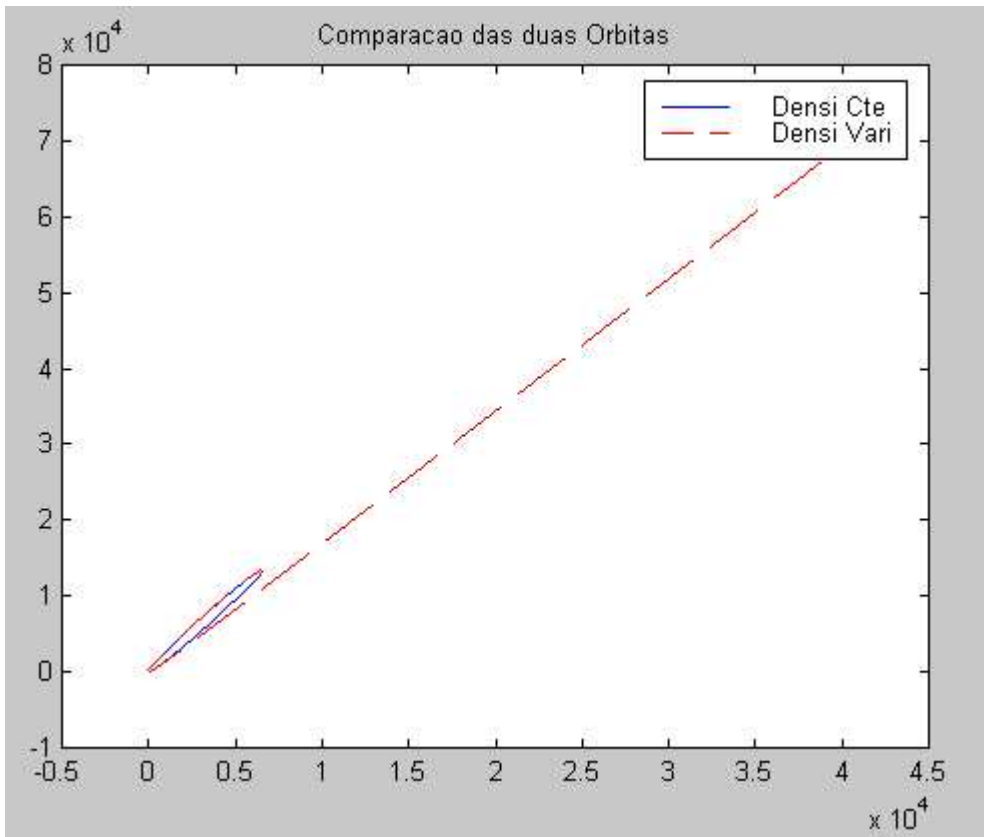


Figura 14- Comparação entre Densidade Constante e Variando

A seguir temos a Tabela 3 que representa o modelo exponencial da densidade:

$$\rho = e^{\frac{-h}{6.8}} \quad \text{com } 0 \leq h < 110, \text{ onde } h \text{ é altitude.}$$

Tabela 3 – Modelo Exponencial

Altitude (Km)	Densidade da Tabela (km/m <sup>3</sup> )	Densidade (km/m <sup>3</sup> )
0	1.225*10 <sup>0</sup>	1
25	3.899*10 <sup>-2</sup>	2.53*10 <sup>-2</sup>
30	1.774*10 <sup>-2</sup>	1.21*10 <sup>-2</sup>
35	8.279*10 <sup>-3</sup>	5.816*10 <sup>-3</sup>
40	3.972*10 <sup>-3</sup>	2.788*10 <sup>-3</sup>
45	1.995*10 <sup>-3</sup>	1.336*10 <sup>-3</sup>
50	1.057*10 <sup>-3</sup>	6.407*10 <sup>-4</sup>
55	5.821*10 <sup>-4</sup>	3.071*10 <sup>-4</sup>
60	3.206*10 <sup>-4</sup>	1.472*10 <sup>-4</sup>
65	1.718*10 <sup>-4</sup>	7.057*10 <sup>-5</sup>
70	8.770*10 <sup>-5</sup>	3.383*10 <sup>-5</sup>
75	4.178*10 <sup>-5</sup>	1.621*10 <sup>-5</sup>
80	1.905*10 <sup>-5</sup>	7.774*10 <sup>-6</sup>
85	8.337*10 <sup>-6</sup>	3.726*10 <sup>-6</sup>
90	3.396*10 <sup>-6</sup>	1.786*10 <sup>-6</sup>
95	1.343*10 <sup>-6</sup>	8.563*10 <sup>-7</sup>
100	5.597*10 <sup>-7</sup>	4.105*10 <sup>-7</sup>
110	9.661*10 <sup>-8</sup>	9.432*10 <sup>-8</sup>

O programa “arrast” (vide apêndice 3, programa 2), simula o decaimento orbital com o modelo exponencial da densidade atmosférica utilizando os dados da tabela anterior, como mostra a Figura 15 abaixo:

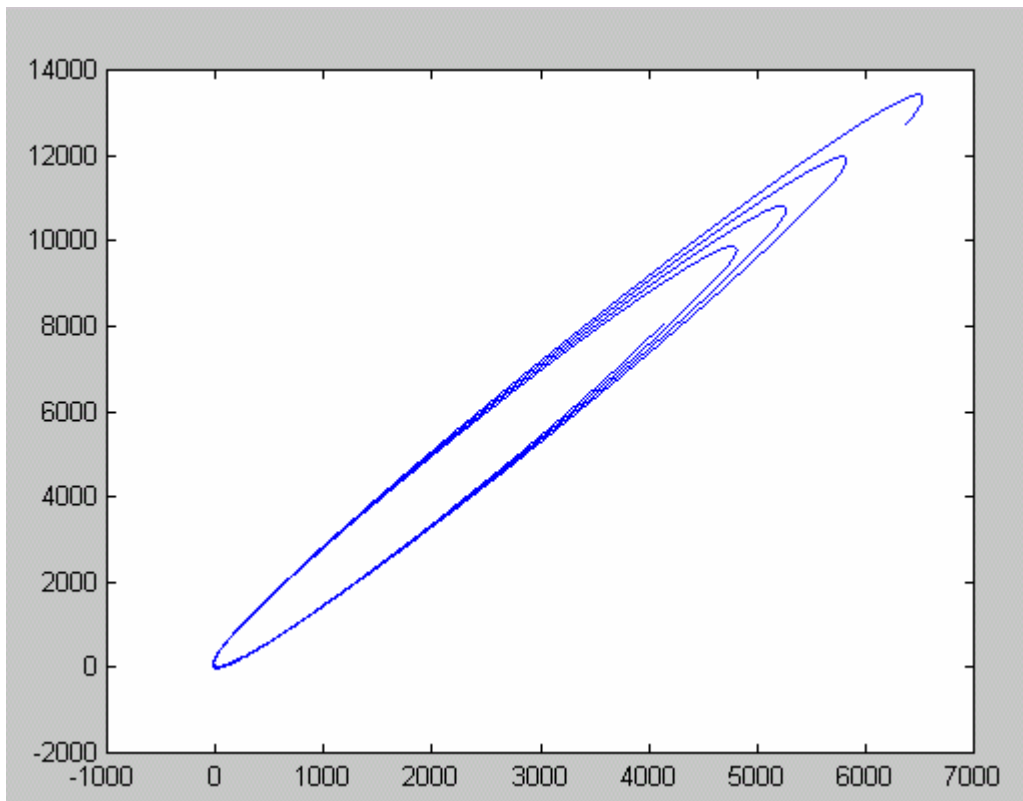


Figura 15- Transferência Orbital com Modelo Exponencial

## CAPÍTULO 3

### **Conclusões, Comentários e Sugestões para o Prosseguimento do Trabalho**

O trabalho anterior realizou análise e simulação de reentradas atmosféricas controladas de um satélite em final de órbita e início, utilizando o estudo de manobras de atitude e de transferência orbital visando otimizar o decaimento orbital controlado de um satélite e também o estudo da sua reentrada inteira ou de seus fragmentos, visando impactar uma região segura da superfície da Terra. Para o decaimento orbital controlado usamos a transferência inversa de Hohmann e a transferência inversa de Breakwell; e também a transferência com força de arrasto atmosférico. No relatório foram listados os programas em Matlab das transferências orbitais para melhor compreensão do trabalho. Com base nestes programas e neste modelo, objetiva-se, posteriormente, estudar as propriedades básicas desse processo. Assim, será possível analisar os problemas de colisão e interferência dos detritos espaciais com outros objetos encontrados no espaço como satélites, ônibus espaciais, e estações espaciais.

## REFERÊNCIAS BIBLIOGRÁFICAS

- 1) KUGA, RAO, *Introdução à Mecânica Orbital*, INPE, São José dos Campos - SP, 1995.
- 2) JOHNSON, N.L., & MCKINIGHT, D.S. *Artificial Space Debris (Updated Edition)*. Krieger Pub. Co., Malabar, FL, USA, 1991.
- 3) CHOBOTOV, V.A. (ed.) *Orbital Mechanics (2 Ed.)* Reston, VA, USA, AIAA, 1996.
- 4) SOUZA, M.L.O., NUNES, D., *Forecasting Space Debris Distribution: A Measure Theory Approach*, 51st. International Astronautical Congress – IAC. Rio de Janeiro - RJ, 2-6 Out.2000, Paper IAA-00-IAA.6.4.07.
- 5) ROSSER, J.B. (ED.) *Space Mathematics, Part I*. American Mathematical Society, New York, NY, USA, 1996.
- 6) CHANDRASEKHAR, S. *Principles of Stellar Dynamics*. Chicago Univ. Press, Chigaco, IL, USA, 1942; e Dover Pub., New York, NY, USA, 1960.
- 7) CARNAHAN, Brice; LUTHER, H. A.; WILKES, James O. *Applied Numerical Methods/*. New York : John Wiley, c1969 604 p. : ISBN 471.135070 (enc.)
- 8) (Apostila) Curso de MATLAB 5.1; *Introdução à Solução de Problemas de Engenharia*; 2ª edição; Programa Prodenge / Sub-Programa Reenge; Universidade do Estado do Rio de Janeiro.
- 9) WERTZ, J.R. *Spacecraft Attitude Determination and Control*, Kluwer Academic Publishers, Dordrecht, Holland, 1978.
- 10) HANSELMAN, D., & LITTLEFIELD, B. *MatLab 5: Guia do Usuário, Versão do Estudante*, Makron Books, 1999.

**Apêndice A - Programas e simulações da órbita elíptica (Transferência de Hohmann)  
desenvolvido por Flávio Francesco Soares Schmidt em Matlab:**

**Programa 1:**

```
function orb_hoh2_old(n,v,raio)
%valores recebidos
%n=8; n. de elipses em 1 volta
%v=2; n. de voltas
%raio inicial da orbita circular

a=raio; % -> semi-eixo horizontal
b=raio; % -> semi-eixo vertical

%armazena o valor de xo para manter fixo o perigeu
xp=a; %era xo;
%armazena o valor de yo para alterar a orbita
yp=b; %era yo;

%definicao das variaveis da elipse (foco, excentricidade e
distancia)
% a=xo;
% b=yo;
c=sqrt(a.^2-b.^2);
e=c/a;
daf=a.*(1+e); %distancia do apogeu ao foco
%inicia o laço de repetição para fazer o giro completo na orbita
%*****
%** laço retirado, primeiro farei manualmente. **
%*****
%for rf=a:-20:raio-20*(v-1)
%inicio da manobra de Hohmann (percorrer a orbita circular
inicial)
rf=a;

%definicao da orbita eliptica
e=(daf./rf)-1;
b=sqrt(rf.^2-(e.*rf).^2);

%*****
%** laço das elipses em orbita removido **
%** por enquanto, as elipses serao desconsideradas **
%*****
for t=1:1:(n)
w=2.*pi/(n);
%raio=10;
teta=w.*t;

%definicao da distancia do foco ao centro da elipse em orbita
r=(rf.*(1-e.^2))/(1+e.*cos(teta));
```

```

%define o centro de cada elipse na orbita eliptica
    xe=e.*rf+(r.*cos(teta));%-(xp-xo);
    ye=r.*sin(teta);%-(yp-yo);

%giro equivalente ao angulo percorrido da orbita
giro=-teta;
%definição do crescimento da elipse
ey=2;%+0.02*t*(red+1);
ex=1;%+0.01*t*(red+1);

%elipse base
x=(-ex):0.05:(ex);
ysup=ey.*sqrt(1-((x)/ex).^2);
yinf=-ey.*sqrt(1-((x)/ex).^2);

%elipse rotacionada e reposicionada de acordo com o centro (ex,ey)
x1=xe+x*cos(giro)+ysup.*sin(giro);
x2=xe+x*cos(-giro)+ysup.*sin(-giro);
ysup1=ye-x.*sin(giro)+ysup.*cos(giro);
yinf1=ye-x.*sin(giro)-ysup.*cos(giro);

%plotagem da figura de cada elipse modificada
plot(x1-(xp-rf),ysup1);
hold on;
plot(x2-(xp-rf),yinf1);
hold on;
end

%plotagem da orbita para referencia
ey=b;
ex=rf;
x=(-ex):0.5:(ex);
ysup=ey.*sqrt(1-((x)/ex).^2);
yinf=-ey.*sqrt(1-((x)/ex).^2);
plot(x-(xp-rf),ysup,'-k');
hold on;
plot(x-(xp-rf),yinf,'-k');
hold on;
%plotagem do foco de cada orbita
plot(e.*rf-(xp-a),0,'+g');
hold on;
%end %laco for

%segundo passo da manobra de Hohmann (1o. tiro)
rf=rf-20;
%definição da orbita eliptica
e=(daf./rf)-1;
b=sqrt(rf.^2-(e.*rf).^2);

%plotagem das elipses na orbita eliptica de transição
for t=1:1:(n/2)
w=2.*pi/(n);
%raio=10;

```

```

teta=pi+w.*t;

%definicao da distancia do foco ao centro da elipse em orbita
r=(rf.*(1-e.^2))/(1+e.*cos(teta));

%define o centro de cada elipse na orbita eliptica
xe=e.*rf+(r.*cos(teta));%-(xp-xo);
ye=r.*sin(teta);%-(yp-yo);

%giro equivalente ao angulo percorrido da orbita
giro=-teta;
%definição do crescimento da elipse
ey=2;%+0.02*t*(red+1);
ex=1;%+0.01*t*(red+1);

%elipse base
x=(-ex):0.05:(ex);
ysup=ey.*sqrt(1-((x)/ex).^2);
yinf=-ey.*sqrt(1-((x)/ex).^2);

%elipse rotacionada e reposicionada de acordo com o centro (ex,ey)
x1=xe+x*cos(giro)+ysup.*sin(giro);
x2=xe+x*cos(-giro)+ysup.*sin(-giro);
ysup1=ye-x.*sin(giro)+ysup.*cos(giro);
yinf1=ye-x.*sin(giro)-ysup.*cos(giro);

%plotagem da figura de cada elipse modificada
plot(x1-(xp-rf),ysup1);
hold on;
plot(x2-(xp-rf),yinf1);
hold on;
end

%plotagem da orbita para referencia
ey=b;
ex=rf;
x=(-ex):0.5:(ex);
ysup=ey.*sqrt(1-((x)/ex).^2);
yinf=-ey.*sqrt(1-((x)/ex).^2); %somente percorre 1/2 orbita
%plot(x-(xp-rf),ysup,'r'); %demonstração da continuidade da orbita
eliptica nao percorrida
hold on;
plot(x-(xp-rf),yinf,':r');
hold on;
%plotagem do foco de cada orbita
plot(e.*rf-(xp-rf),0,'+g');
hold on;

%terceiro passo da manobra de Hohmann (2o. tiro)
%retorno a orbita circular, agora com raio final
b=rf*(1-e);
rf=b;

```

```

%plotagem das elipses na orbita circular final
    for t=1:1:(n)
        w=2.*pi/(n);
        %raio=10;
        teta=w.*t;

%definicao da distancia do foco ao centro da elipse em orbita
        r=(rf.*(1-e.^2))/(1+e.*cos(teta));

%define o centro de cada elipse na orbita eliptica
        xe=e.*rf+(r.*cos(teta));%-(xp-xo);
        ye=r.*sin(teta);%-(yp-yo);

%giro equivalente ao angulo percorrido da orbita
giro=-teta;
%definição do crescimento da elipse
ey=2;%+0.02*t*(red+1);
ex=1;%+0.01*t*(red+1);

%elipse base
x=(-ex):0.05:(ex);
ysup=ey.*sqrt(1-((x)/ex).^2);
yinf=-ey.*sqrt(1-((x)/ex).^2);

%elipse rotacionada e reposicionada de acordo com o centro (ex,ey)
x1=xe+x*cos(giro)+ysup.*sin(giro);
x2=xe+x*cos(-giro)+ysup.*sin(-giro);
ysup1=ye-x.*sin(giro)+ysup.*cos(giro);
yinf1=ye-x.*sin(-giro)-ysup.*cos(-giro);

%plotagem da figura de cada elipse modificada
plot(x1,ysup1);
hold on;
plot(x2,yinf1);
hold on;
end

%plotagem da orbita para referencia
ey=b;
ex=rf;
x=(-ex):0.5:(ex);
ysup=ey.*sqrt(1-((x)/ex).^2);
yinf=-ey.*sqrt(1-((x)/ex).^2);
plot(x,ysup,'-k');
hold on;
plot(x,yinf,'-k');
hold on;
%plotagem dos eixos x e y para orientação, respectivamente
plot(-(xp+15):1:(xp+15),0,'k');
plot(0,-(xp+15):1:(xp+15),'k');
%igualando a escala dos eixos x e y
axis equal
function end

```

## Programa 2 :

```
function espiral_elipsecte(v,n,raio,b)

%v=numero de voltas
%n=numero de elipses
%raio=raio inicial
%b=taxa de decaimenro do espiral
fi=0:pi/60:2*pi*v;
r=raio*exp(b*fi);
%polar(r, fi);
%hold on;
for(i=0:1:2*v*60)
    xs=r.*cos(fi);
    ys=r.*sin(fi);
end
%desenha espiral no fim

%inicia o laço de repetição para fazer o giro completo na orbita
for t=1:100:(100*n*v)
    w=2*pi/(100*n);
    %raio=10;
    teta=w.*t;
re=raio*exp(b*teta); %calculando espiral das elipses
%define o centro de cada elipse
    xe=re.*cos(teta);
    ye=re.*sin(teta);

%giro equivalente ao angulo percorrido da orbita
giro=-teta;
%definição da elipse
ey=2;
ex=1;

%elipse base
x=(-ex):0.05:(ex);
ysup=ey.*sqrt(1-((x)/ex).^2);
yinf=-ey.*sqrt(1-((x)/ex).^2);

%elipse rotacionada e reposicionada de acordo com o centro (ex,ey)
x1=xe+x*cos(giro)+ysup.*sin(giro);
x2=xe+x*cos(-giro)+ysup.*sin(-giro);
ysup1=ye-x.*sin(giro)+ysup.*cos(giro);
yinf1=ye-x.*sin(-giro)-ysup.*cos(-giro);

%plotagem da figura de cada elipse modificada
plot(x1,ysup1);
hold on;
plot(x2,yinf1);
hold on;

%plotagem da orbita circular para referencia
```

```

ey=raio;
ex=raio;
x=(-ex):0.5:(ex);
ysup=ey.*sqrt(1-((x)/ex).^2);
yinf=-ey.*sqrt(1-((x)/ex).^2);
plot(x,ysup,'-k');
hold on;
plot(x,yinf,'-k');
hold on;
%plotagem do centro da orbita (Centro de atração gravitacional)
plot(0,0,'+g');
hold on;
%plotagem das linhas de raio do centro da orbita ate o centro de
cada elipse
%plot(0:1:xe,0:ye/xe:ye,'r'); %lado direito, onde xe>0
hold on;
%plot(xe:1:0,ye:ye/xe:0,'r'); %lado esquerdo, onde xe<0
hold on;
%plotagem dos eixos x e y para orientação, respectivamente
plot(-(raio+15):1:(raio+15),0,'k');
plot(0,-(raio+15):1:(raio+15),'k');
%desenhando o espiral
plot(xs,ys,'r');

%igualando a escala dos eixos x e y
axis equal
end

```

### Programa 3 :

```

function orb_hoh4(n,v,raio)

%valores recebidos
%n=8; n. de elipses em 1 volta
%v=2; n. de voltas
%raio inicial da orbita circular

a=raio; % -> semi-eixo horizontal
b=raio; % -> semi-eixo vertical

%armazena o valor de xo para manter fixo o perigeu
xp=a; %era xo;
%armazena o valor de yo para alterar a orbita
yp=b; %era yo;

%definicao das variaveis da elipse (foco, excentricidade e
distancia)
% a=xo;
% b=yo;
c=sqrt(a.^2-b.^2);
e=c/a;

```

```

    daf=a.*(1+e); %distancia do apogeu ao foco

%inicia o laço de repetição para fazer o giro completo na orbita
%*****
%** laço retirado, primeiro farei manualmente. **
%*****
%for rf=a:-20:raio-20*(v-1)
%inicio da manobra de Hohmann (percorrer a orbita circular
inicial)
    rf=a;

%definicao da orbita eliptica
    e=(daf./rf)-1;
    b=sqrt(rf.^2-(e.*rf).^2);
%*****
%**          laço das elipses em orbita removido          **
%** por enquanto, as elipses serao desconsideradas **
%*****
    for t=1:1:(n)
        w=2.*pi/(n);
        %raio=10;
        teta=w.*t;

%definicao da distancia do foco ao centro da elipse em orbita
        r=(rf.*(1-e.^2))/(1+e.*cos(teta));

%define o centro de cada elipse na orbita eliptica
        xe=e.*rf+(r.*cos(teta));%-(xp-xo);
        ye=r.*sin(teta);%-(yp-yo);

%giro equivalente ao angulo percorrido da orbita
giro=-teta;
%definição do crescimento da elipse
ey=2;%+0.02*t*(red+1);
ex=1;%+0.01*t*(red+1);

%elipse base
x=(-ex):0.05:(ex);
ysup=ey.*sqrt(1-((x)/ex).^2);
yinf=-ey.*sqrt(1-((x)/ex).^2);

%elipse rotacionada e reposicionada de acordo com o centro (ex,ey)
x1=xe+x*cos(giro)+ysup.*sin(giro);
x2=xe+x*cos(-giro)+ysup.*sin(-giro);
ysup1=ye-x.*sin(giro)+ysup.*cos(giro);
yinf1=ye-x.*sin(giro)-ysup.*cos(giro);

%plotagem da figura de cada elipse modificada
plot(x1-(xp-rf),ysup1);
hold on;
plot(x2-(xp-rf),yinf1);
hold on;
end

```

```

%plotagem da orbita para referencia
ey=b;
ex=rf;
x=(-ex):0.5:(ex);
ysup=ey.*sqrt(1-((x)/ex).^2);
yinf=-ey.*sqrt(1-((x)/ex).^2);
plot(x-(xp-rf),ysup,'-k');
hold on;
plot(x-(xp-rf),yinf,'-k');
hold on;
%plotagem do foco de cada orbita
plot(e.*rf-(xp-a),0,'+g');
hold on;
%end %laco for

%segundo passo da manobra de Hohmann (1o. tiro)
rf=rf-20;
%definicao da orbita eliptica
e=(daf./rf)-1;
b=sqrt(rf.^2-(e.*rf).^2);

%plotagem das elipses na orbita eliptica de transicao
for t=1:1:(n/2)
w=2.*pi/(n);
%raio=10;
teta=pi+w.*t;

%definicao da distancia do foco ao centro da elipse em orbita
r=(rf.*(1-e.^2))/(1+e.*cos(teta));

%define o centro de cada elipse na orbita eliptica
xe=e.*rf+(r.*cos(teta));%-(xp-xo);
ye=r.*sin(teta);%-(yp-yo);

%giro equivalente ao angulo percorrido da orbita
giro=-teta;
%definicao do crescimento da elipse
ey=2;%+0.02*t*(red+1);
ex=1;%+0.01*t*(red+1);

%elipse base
x=(-ex):0.05:(ex);
ysup=ey.*sqrt(1-((x)/ex).^2);
yinf=-ey.*sqrt(1-((x)/ex).^2);

%elipse rotacionada e reposicionada de acordo com o centro (ex,ey)
x1=xe+x*cos(giro)+ysup.*sin(giro);
x2=xe+x*cos(-giro)+ysup.*sin(-giro);
ysup1=ye-x.*sin(giro)+ysup.*cos(giro);
yinf1=ye-x.*sin(giro)-ysup.*cos(giro);

%plotagem da figura de cada elipse modificada

```

```

plot(x1-(xp-rf),ysup1);
hold on;
plot(x2-(xp-rf),yinf1);
hold on;
end

%plotagem da orbita para referencia
ey=b;
ex=rf;
x=(-ex):0.5:(ex);
ysup=ey.*sqrt(1-((x)/ex).^2);
yinf=-ey.*sqrt(1-((x)/ex).^2); %somente percorre 1/2 orbita
%plot(x-(xp-rf),ysup,'r');%demonstracao dacontinuidade da orbita
elipticanao
percorrida
hold on;
plot(x-(xp-rf),yinf,':r');
hold on;
%plotagem do foco de cada orbita
plot(e.*rf-(xp-rf),0,'+g');
hold on;

%terceiro passo da manobra de Hohmann (2o. tiro)
%retorno a orbita circular, agora com raio final
    b=rf*(1-e);
    rf=b;

%plotagem das elipses na orbita circular final
    for t=1:1:(n)
        w=2.*pi/(n);
        %raio=10;
        teta=w.*t;

%definicao da distancia do foco ao centro da elipse em orbita
        r=(rf.*(1-e.^2))/(1+e.*cos(teta));

%define o centro de cada elipse na orbita eliptica
        xe=e.*rf+(r.*cos(teta));%-(xp-xo);
        ye=r.*sin(teta);%-(yp-yo);

%giro equivalente ao angulo percorrido da orbita
giro=-teta;
%definicao do crescimento da elipse
ey=2;%+0.02*t*(red+1);
ex=1;%+0.01*t*(red+1);

%elipse base
x=(-ex):0.05:(ex);
ysup=ey.*sqrt(1-((x)/ex).^2);
yinf=-ey.*sqrt(1-((x)/ex).^2);

%elipse rotacionada e reposicionada de acordo com o centro (ex,ey)
x1=xe+x*cos(giro)+ysup.*sin(giro);

```

```

x2=xe+x*cos(-giro)+ysup.*sin(-giro);
ysup1=ye-x.*sin(giro)+ysup.*cos(giro);
yinf1=ye-x.*sin(giro)-ysup.*cos(giro);

%plotagem da figura de cada elipse modificada
plot(x1,ysup1);
hold on;
plot(x2,yinf1);
hold on;
end

%plotagem da orbita para referencia
ey=b;
ex=rf;
x=(-ex):0.5:(ex);
ysup=ey.*sqrt(1-((x)/ex).^2);
yinf=-ey.*sqrt(1-((x)/ex).^2);
plot(x,ysup,'-k');
hold on;
plot(x,yinf,'-k');
hold on;
%plotagem dos eixos x e y para orientaçao, respectivamente
plot(-(xp+15):1:(xp+15),0,'k');
plot(0,-(xp+15):1:(xp+15),'k');
%igualando a escala dos eixos x e y
axis equal
espiral_elipsecte(6,10,60,-0.05)

function end

```

#### **Programa 4 :**

```

function orb_hoh2(n,v,raio)

%valores recebidos
%n=8; n. de elipses em 1 volta
%v=2; n. de voltas
%raio inicial da orbita circular

a=raio; % -> semi-eixo horizontal
b=raio; % -> semi-eixo vertical

%armazena o valor de xo para manter fixo o perigeu
xp=a; %era xo;
%armazena o valor de yo para alterar a orbita
yp=b; %era yo;

%definicao das variaveis da elipse (foco, excentricidade e
distancia)
% a=xo;
% b=yo;

```

```

c=sqrt(a.^2-b.^2);
e=c/a;
daf=a.*(1+e); %distancia do apogeu ao foco

%inicia o laço de repetição para fazer o giro completo na orbita
%*****
%** laço retirado, primeiro farei manualmente. **
%*****
%for rf=a:-20:raio-20*(v-1)
%inicio da manobra de Hohmann (percorrer a orbita circular
inicial)
    rf=a;

%definicao da orbita eliptica
    e=(daf./rf)-1;
    b=sqrt(rf.^2-(e.*rf).^2);

%*****
%**                                laço das elipses em orbita                **
%*****
    for t=1:1:(n)
        w=2.*pi/(n);
        %raio=10;
        teta=w.*t;

%definicao da distancia do foco ao centro da elipse em orbita
        r=(rf.*(1-e.^2))/(1+e.*cos(teta));

%define o centro de cada elipse na orbita eliptica
        xe=e.*rf+(r.*cos(teta));%-(xp-xo);
        ye=r.*sin(teta);%-(yp-yo);

%giro equivalente ao angulo percorrido da orbita
giro=-teta;
%definição do crescimento da elipse
ey=2;%+0.02*t*(red+1);
ex=1;%+0.01*t*(red+1);

%elipse base
x=(-ex):0.05:(ex);
ysup=ey.*sqrt(1-((x)/ex).^2);
yinf=-ey.*sqrt(1-((x)/ex).^2);

%elipse rotacionada e reposicionada de acordo com o centro (ex,ey)
x1=xe+x*cos(giro)+ysup.*sin(giro);
x2=xe+x*cos(-giro)+ysup.*sin(-giro);
ysup1=ye-x.*sin(giro)+ysup.*cos(giro);
yinf1=ye-x.*sin(giro)-ysup.*cos(giro);

%plotagem da figura de cada elipse modificada
plot(x1-(raio-rf),ysup1);
hold on;
plot(x2-(raio-rf),yinf1);

```

```

hold on;
end

%plotagem da orbita para referencia
ey=b;
ex=rf;
x=(-ex):0.5:(ex);
ysup=ey.*sqrt(1-((x)/ex).^2);
yinf=-ey.*sqrt(1-((x)/ex).^2);
plot(x,ysup,'-k');
hold on;
plot(x,yinf,'-k');
hold on;
%plotagem do foco de cada orbita
plot(e.*rf,0,'+g');
hold on;
%end %laco for

while rf > 100 %reduz orbita ate atingir 100km de distancia
%segundo passo da manobra de Hohmann (1o. tiro)
    rf=rf-20; %diminuição do raio da orbita. Dobro do valor
    indicado, devido ao deslocamento
    daf=rf.*(1+e); %distancia do apogeu ao foco
%definicao da orbita eliptica
    e=(daf./rf)-1;
    b=sqrt(rf.^2-(e.*rf).^2);

%plotagem das elipses na orbita eliptica de transição
    for t=1:1:(n/2)
        w=2.*pi/(n);
        %raio=10;
        teta=pi+w.*t;

%definicao da distancia do foco ao centro da elipse em orbita
        r=(rf.*(1-e.^2))/(1+e.*cos(teta));

%define o centro de cada elipse na orbita eliptica
        xe=e.*rf+(r.*cos(teta));
        ye=r.*sin(teta);

%giro equivalente ao angulo percorrido da orbita
        giro=-teta;
%definição do crescimento da elipse
        ey=2;%+0.02*t*(red+1);
        ex=1;%+0.01*t*(red+1);

%elipse base
        x=(-ex):0.05:(ex);
        ysup=ey.*sqrt(1-((x)/ex).^2);
        yinf=-ey.*sqrt(1-((x)/ex).^2);

%elipse rotacionada e reposicionada de acordo com o centro (ex,ey)
        x1=xe+x*cos(giro)+ysup.*sin(giro);

```

```

x2=xe+x*cos(-giro)+ysup.*sin(-giro);
ysup1=ye-x.*sin(giro)+ysup.*cos(giro);
yinf1=ye-x.*sin(giro)-ysup.*cos(giro);

%plotagem da figura de cada elipse modificada
plot(x1-(raio-rf),ysup1);
hold on;
plot(x2-(raio-rf),yinf1);
hold on;
end

%plotagem da orbita para referencia
ey=b;
ex=rf;
x=(-ex):0.5:(ex);
ysup=ey.*sqrt(1-((x)/ex).^2);
yinf=-ey.*sqrt(1-((x)/ex).^2); %somente percorre 1/2 orbita
%plot(x-(raio-rf),ysup,'r'); %demonstração da continuidade da
orbita eliptica nao percorrida
%hold on;
plot(x-(raio-rf),yinf,':r');
hold on;
%plotagem do foco de cada orbita
plot(e.*raio-(raio-rf),0,'+g');
hold on;

%terceiro passo da manobra de Hohmann (2o. tiro)
%retorno a orbita circular, agora com raio final
    b=(rf-20)*(1-e);
    rf=b;

%plotagem das elipses na orbita circular final
    for t=1:1:(n)
        w=2.*pi/(n);
        teta=w.*t;

%definição da distancia do foco ao centro da elipse em orbita
        r=(rf.*(1-e.^2))/(1+e.*cos(teta));

%define o centro de cada elipse na orbita eliptica
        xe=e.*rf+(r.*cos(teta));%-(xp-xo);
        ye=r.*sin(teta);%-(yp-yo);

%giro equivalente ao angulo percorrido da orbita
giro=-teta;
%definição do crescimento da elipse
ey=2;%+0.02*t*(red+1);
ex=1;%+0.01*t*(red+1);

%elipse base
x=(-ex):0.05:(ex);
ysup=ey.*sqrt(1-((x)/ex).^2);
yinf=-ey.*sqrt(1-((x)/ex).^2);

```

```

%elipse rotacionada e reposicionada de acordo com o centro (ex,ey)
x1=xe+x*cos(giro)+ysup.*sin(giro);
x2=xe+x*cos(-giro)+ysup.*sin(-giro);
ysup1=ye-x.*sin(giro)+ysup.*cos(giro);
yinf1=ye-x.*sin(giro)-ysup.*cos(giro);

%plotagem da figura de cada elipse modificada
plot(x1,ysup1);
hold on;
plot(x2,yinf1);
hold on;
end

%plotagem da orbita para referencia
ey=b;
ex=rf;
x=(-ex):0.5:(ex);
ysup=ey.*sqrt(1-((x)/ex).^2);
yinf=-ey.*sqrt(1-((x)/ex).^2);
plot(x,ysup,'-k');
hold on;
plot(x,yinf,'-k');
hold on;
%define nova orbita inicial para proxima reducao
raio=rf;
end %fim do while

%plotagem dos eixos x e y para orientacao, respectivamente
plot(-(xp+15):1:(xp+15),0,'k');
plot(0,-(xp+15):1:(xp+15),'k');
%igualando a escala dos eixos x e y
axis equal
espiral_elipsecte(5,10,rf,-0.05)
function end

```

### Programa 5 :

```

function orb_hoh22(n,raio,rfmax,redo,rede)

%valores recebidos
%n= numero de elipses em 1 volta
%raio= raio inicial da orbita circular
%rfmax= raio final maximo permitido, abaixo desse valor, inicia o
espiral
%redo= reducao da orbita por impulso
%rede= taxa de decaimento do espiral

a=raio; % -> semi-eixo horizontal
b=raio; % -> semi-eixo vertical

```

```

%armazena o valor de xo para manter fixo o perigeu
xp=a; %era xo;
%armazena o valor de yo para alterar a orbita
yp=b; %era yo;

%definicao das variaveis da elipse (foco, excentricidade e
distancia)
% a=xo;
% b=yo;
c=sqrt(a.^2-b.^2);
e=c/a;
daf=a.*(1+e); %distancia do apogeu ao foco

%inicia o laço de repetição para fazer o giro completo na orbita
%*****
%** laço retirado, primeiro farei manualmente. **
%*****
%for rf=a:-20:raio-20*(v-1)
%inicio da manobra de Hohmann (percorrer a orbita circular
inicial)
rf=a;

%definicao da orbita eliptica
e=(daf./rf)-1;
b=sqrt(rf.^2-(e.*rf).^2);

%*****
%** laço das elipses em orbita **
%*****
for t=1:1:(n)
w=2.*pi/(n);
%raio=10;
teta=w.*t;

%definicao da distancia do foco ao centro da elipse em orbita
r=(rf.*(1-e.^2))/(1+e.*cos(teta));

%define o centro de cada elipse na orbita eliptica
xe=e.*rf+(r.*cos(teta));%-(xp-xo);
ye=r.*sin(teta);%-(yp-yo);

%giro equivalente ao angulo percorrido da orbita
giro=-teta;
%definição do crescimento da elipse
ey=2;%+0.02*t*(red+1);
ex=1;%+0.01*t*(red+1);

%elipse base
x=(-ex):0.05:(ex);
ysup=ey.*sqrt(1-((x)/ex).^2);
yinf=-ey.*sqrt(1-((x)/ex).^2);

%elipse rotacionada e reposicionada de acordo com o centro (ex,ey)

```

```

x1=xe+x*cos(giro)+ysup.*sin(giro);
x2=xe+x*cos(-giro)+ysup.*sin(-giro);
ysup1=ye-x.*sin(giro)+ysup.*cos(giro);
yinf1=ye-x.*sin(giro)-ysup.*cos(giro);

%plotagem da figura de cada elipse modificada
plot(x1-(raio-rf),ysup1);
hold on;
plot(x2-(raio-rf),yinf1);
hold on;
end

%plotagem da orbita para referencia
ey=b;
ex=rf;
x=(-ex):0.5:(ex);
ysup=ey.*sqrt(1-((x)/ex).^2);
yinf=-ey.*sqrt(1-((x)/ex).^2);
plot(x,ysup,'-k');
hold on;
plot(x,yinf,'-k');
hold on;
%plotagem do foco de cada orbita
plot(e.*rf,0,'+g');
hold on;
%end %laco for

while rf > rfmax %reduz orbita ate atingir rfmax de distancia
%segundo passo da manobra de Hohmann (1o. tiro)
    rf=rf-redo/2; %diminuição do raio da orbita. Dobro do valor
indicado, devido ao deslocamento
    daf=rf.*(1+e); %distancia do apogeu ao foco
%definicao da orbita eliptica
    e=(daf./rf)-1;
    b=sqrt(rf.^2-(e.*rf).^2);

%plotagem das elipses na orbita eliptica de transição
    for t=1:1:(n/2)
        w=2.*pi/(n);
        %raio=10;
        teta=pi+w.*t;

%definicao da distancia do foco ao centro da elipse em orbita
        r=(rf.*(1-e.^2))/(1+e.*cos(teta));

%define o centro de cada elipse na orbita eliptica
        xe=e.*rf+(r.*cos(teta));
        ye=r.*sin(teta);

%giro equivalente ao angulo percorrido da orbita
giro=-teta;
%definição do crescimento da elipse
ey=2;%+0.02*t*(red+1);

```

```

ex=1;%+0.01*t*(red+1);

%elipse base
x=(-ex):0.05:(ex);
ysup=ey.*sqrt(1-((x)/ex).^2);
yinf=-ey.*sqrt(1-((x)/ex).^2);

%elipse rotacionada e reposicionada de acordo com o centro (ex,ey)
x1=xe+x*cos(giro)+ysup.*sin(giro);
x2=xe+x*cos(-giro)+ysup.*sin(-giro);
ysup1=ye-x.*sin(giro)+ysup.*cos(giro);
yinf1=ye-x.*sin(giro)-ysup.*cos(giro);

%plotagem da figura de cada elipse modificada
plot(x1-(raio-rf),ysup1);
hold on;
plot(x2-(raio-rf),yinf1);
hold on;
end

%plotagem da orbita para referencia
ey=b;
ex=rf;
x=(-ex):0.5:(ex);
ysup=ey.*sqrt(1-((x)/ex).^2);
yinf=-ey.*sqrt(1-((x)/ex).^2); %somente percorre 1/2 orbita
%plot(x-(raio-rf),ysup,'r'); %demonstracao da continuidade da
orbita eliptica nao percorrida
%hold on;
plot(x-(raio-rf),yinf,':r');
hold on;
%plotagem do foco de cada orbita
plot(e.*rf,0,'+g');
hold on;

%terceiro passo da manobra de Hohmann (2o. tiro)
%retorno a orbita circular, agora com raio final
    b=(rf-redo/2)*(1-e);
    rf=b;

%plotagem das elipses na orbita circular final
    for t=1:1:(n)
        w=2.*pi/(n);
        teta=w.*t;

%definicao da distancia do foco ao centro da elipse em orbita
        r=(rf.*(1-e.^2))/(1+e.*cos(teta));

%define o centro de cada elipse na orbita eliptica
        xe=e.*rf+(r.*cos(teta));%-(xp-xo);
        ye=r.*sin(teta);%-(yp-yo);

%giro equivalente ao angulo percorrido da orbita

```

```

giro=-teta;
%definição do crescimento da elipse
ey=2;%+0.02*t*(red+1);
ex=1;%+0.01*t*(red+1);

%elipse base
x=(-ex):0.05:(ex);
ysup=ey.*sqrt(1-((x)/ex).^2);
yinf=-ey.*sqrt(1-((x)/ex).^2);

%elipse rotacionada e reposicionada de acordo com o centro (ex,ey)
x1=xe+x*cos(giro)+ysup.*sin(giro);
x2=xe+x*cos(-giro)+ysup.*sin(-giro);
ysup1=ye-x.*sin(giro)+ysup.*cos(giro);
yinf1=ye-x.*sin(giro)-ysup.*cos(giro);

%plotagem da figura de cada elipse modificada
plot(x1,ysup1);
hold on;
plot(x2,yinf1);
hold on;
end

%plotagem da orbita para referencia
ey=b;
ex=rf;
x=(-ex):0.5:(ex);
ysup=ey.*sqrt(1-((x)/ex).^2);
yinf=-ey.*sqrt(1-((x)/ex).^2);
plot(x,ysup,'-k');
hold on;
plot(x,yinf,'-k');
hold on;
%define nova orbita inicial para proxima reducao
raio=rf;
end %fim do while

%plotagem dos eixos x e y para orientacao, respectivamente
plot(-(xp+15):1:(xp+15),0,'k');
plot(0,-(xp+15):1:(xp+15),'k');
%igualando a escala dos eixos x e y
axis equal
espiral_elipsecte(6,10,rf,rede)
function end

```

### Programa 6 :

```

function orb_raio0(ri,rf)
%valores recebidos
%ri=100 - raio inicial
%rf=70 - raio final

```

```

a=ri; % -> semi-eixo horizontal
b=ri; % -> semi-eixo vertical
%armazena o valor de xo para manter fixo o perigeu
xp=a; %era xo;
%armazena o valor de yo para alterar a orbita
yp=b; %era yo;
%definicao das variaveis da elipse (foco, excentricidade e
distancia)
    c=sqrt(a.^2-b.^2);
    e=0;
    daf=a.*(1+e); %distancia do apogeu ao foco
    w=a;
    %inicio da manobra de Hohmann (percorrer a orbita circular
inicial)
        e=0;
        b=sqrt(w.^2-(e.*w).^2);
%plotagem da orbita para referencia
ey=b;
ex=w;
x=(-ex):0.5:(ex);
ysup=ey.*sqrt(1-((x)/ex).^2);
yinf=-ey.*sqrt(1-((x)/ex).^2);
plot(x-(xp-w),ysup,'-k');
hold on;
plot(x-(xp-w),yinf,'-k');
hold on;
axis equal

%segundo passo da manobra de Hohmann (1o. tiro)
    w=w-20;
    p=sqrt(((2.*rf)./(ri))/(1+(rf./ri)))-1;
    u=(p+w);
%definicao da orbita eliptica
    e=(daf./w)-1;
    b=sqrt(w.^2-(e.*w).^2);
%plotagem da orbita para referencia
ey=rf;
ex=u;
x=(-ex):0.5:(ex);
ysup=ey.*sqrt(1-((x)/ex).^2);
yinf=-ey.*sqrt(1-((x)/ex).^2); %somente percorre 1/2 orbita
%plot(x-(xp-w),ysup,'-r'); %demonstração da continuidade da orbita
eliptica nao percorrida
hold on;
plot(x-(xp-w),yinf,':r');
hold on;

%terceiro passo da manobra de Hohmann (2o. tiro)
%retorno a orbita circular, agora com raio final
    ri=w*(1-e);
    rf=ri+0.3;
    q=sqrt(ri./rf)-sqrt((2.*ri)/(ri+rf));
    s=rf+q;

```

```

%plotagem da orbita para referencia
ey=ri;
ex=s;
x=(-ex):0.5:(ex);
ysup=ey.*sqrt(1-((x)/ex).^2);
yinf=-ey.*sqrt(1-((x)/ex).^2);
plot(x,ysup,'-k');
hold on;
plot(x,yinf,'-k');
hold on;

xlabel('Distancia (Km)')
ylabel('Raio (Km)')
title('Transferencia Inversa de Hohmann')
text(-100,5,'deltaV= -0.0925km/s')
text(50,3,'deltaV= -0.0012km/s')
text(-100,90,'R.Inicial=100km')
text(50,-40,'R.Final=70km')
%gtext('r=100')
%plotagem dos eixos x e y para orientacao, respectivamente
plot(-(xp+15):1:(xp+15),0,'k');
plot(0,-(xp+15):1:(xp+15),'k');
%igualando a escala dos eixos x e y
axis equal

```

**Apêndice B - Programas e simulações da órbita elíptica (Transferência de Breakwell)**  
**desenvolvido por Flávio Francesco Soares Schmidt em Matlab:**

**Programa 1:**

```
function orb_elip_ff(n,v,a,b)

%valores recebidos
%n=8; n. de elipses em 1 volta
%v=2; n. de voltas
%a -> semi-eixo horizontal
%b -> semi-eixo vertical

%armazena o valor de xo para manter fixo o perigeu
xp=a; %era xo;
%armazena o valor de yo para alterar a orbita
yp=b; %era yo;

%definicao das variaveis da elipse (foco, excentricidade e
distancia)
% a=xo;
% b=yo;
c=sqrt(a.^2-b.^2);
e=c/a;
daf=a.*(1+e); %distancia do apogeu ao foco
e1=e;

%inicia o laço de repetição para fazer o giro completo na orbita
for e2=e:0.06:e+6*(v-1)/100

%definicao da orbita eliptica
a=a.*(1+e1)/(1+e2);
b=sqrt(a.^2-(e2.*a).^2);

for t=1:1:(n)
w=2.*pi/(n);
%raio=10;
teta=w.*t;

%definicao da distancia do foco ao centro da elipse em orbita
r=(a.*(1-e2.^2))/(1+e2.*cos(teta));

%define o centro de cada elipse na orbita eliptica
xe=e2.*a+(r.*cos(teta));%-(xp-xo);
ye=r.*sin(teta);%-(yp-yo);

%giro equivalente ao angulo percorrido da orbita
giro=-teta;
%definição do crescimento da elipse
ey=2;%+0.02*t*(red+1);
```

```

ex=1;%+0.01*t*(red+1);

%elipse base
x=(-ex):0.05:(ex);
ysup=ey.*sqrt(1-((x)/ex).^2);
yinf=-ey.*sqrt(1-((x)/ex).^2);

%elipse rotacionada e reposicionada de acordo com o centro (ex,ey)
x1=xe+x*cos(giro)+ysup.*sin(giro);
x2=xe+x*cos(-giro)+ysup.*sin(-giro);
ysup1=ye-x.*sin(giro)+ysup.*cos(giro);
yinf1=ye-x.*sin(giro)-ysup.*cos(giro);

%plotagem dafigura de cada elipse modificada
plot(x1-(xp-a),ysup1);
hold on;
plot(x2-(xp-a),yinf1);
hold on;
end

%plotagem da orbita para referencia
ey=b;
ex=a;
x=(-ex):0.5:(ex);
ysup=ey.*sqrt(1-((x)/ex).^2);
yinf=-ey.*sqrt(1-((x)/ex).^2);
plot(x-(xp-a),ysup,'-k');
hold on;
plot(x-(xp-a),yinf,'-k');
hold on;
%plotagem do foco de cada orbita
%plot(e2*a-(xp-a),0,'+g'); retirado para teste
plot(e2.*a-(xp-a),0,'+g');
hold on;
%plotagem do centro da orbita (Centro de atração gravitacional)
%plot(0,0,'+g');
%hold on;
%plotagem das linhas de raio do centro da orbita ate o centro de
cada elipse
%plot(0:1:xe,0:ye/xe:ye,'r'); %lado direito, onde xe>0
%hold on;
%plot(xe:1:0,ye:ye/xe:0,'r'); %lado esquerdo, onde xe<0
%hold on;

%define valor de e com ultimo valor calculado
e1=e2;
end %laco for
%plotagem dos eixos x e y para orientação, respectivamente
plot(-(xp+15):1:(xp+15),0,'k');
plot(0,-(xp+15):1:(xp+15),'k');
%igualando a escala dos eixos x e y
axis equal
function end

```

## Programa 2:

```
function espiral_breakwell(v,n,raio,b,df)

%v=numero de voltas
%n=numero de elipses
%raio=raio inicial
%b=taxa de decaimento do espiral
%df=distancia do foco
fi=0:pi/60:2*pi*v;
r=raio*exp(b*fi);
%polar(r, fi);
%hold on;
for(i=0:1:2*v*60)
    xs=r.*cos(fi);
    ys=r.*sin(fi);
end
%desenha espiral no fim

%inicia o laço de repetição para fazer o giro completo na orbita
for t=1:100:(100*n*v)
    w=2*pi/(100*n);
    %raio=10;
    teta=w.*t;
re=raio*exp(b*teta); %calculando espiral das elipses
%define o centro de cada elipse
    xe=re.*cos(teta);
    ye=re.*sin(teta);

%giro equivalente ao angulo percorrido da orbita
giro=-teta;
%definição da elipse
ey=2;
ex=1;

%elipse base
x=(-ex):0.05:(ex);
ysup=ey.*sqrt(1-((x)/ex).^2);
yinf=-ey.*sqrt(1-((x)/ex).^2);

%elipse rotacionada e reposicionada de acordo com o centro (ex,ey)
x1=xe+x*cos(giro)+ysup.*sin(giro);
x2=xe+x*cos(-giro)+ysup.*sin(-giro);
ysup1=ye-x.*sin(giro)+ysup.*cos(giro);
yinf1=ye-x.*sin(giro)-ysup.*cos(giro);

%plotagem da figura de cada elipse modificada
plot(x1+df,ysup1);
hold on;
plot(x2+df,yinf1);
hold on;
```

```

%plotagem da orbita circular para referencia
%ey=raio;
%ex=raio;
%x=(-ex):0.5:(ex);
%ysup=ey.*sqrt(1-((x)/ex).^2);
%yinf=-ey.*sqrt(1-((x)/ex).^2);
%plot(x+df,ysup,'-k');
%hold on;
%plot(x+df,yinf,'-k');
%hold on;
%plotagem do centro da orbita (Centro de atração gravitacional)
plot(df,0,'+g');
hold on;
%plotagem dos eixos x e y para orientação, respectivamente
%plot(-(raio+15):1:(raio+15),0,'k');
%plot(0,-(raio+15):1:(raio+15),'k');
%desenhando o espiral
plot(xs+df,ys,'r');

%igualando a escala dos eixos x e y
axis equal
end

```

### Programa 3 :

```

function breakwell_autol(n,a,b,af)
%valores recebidos
%n=8; n. de elipses em 1 volta
%a -> semi-eixo horizontal
%b -> semi-eixo vertical
%af -> semi-eixo horizontal maximo para entrar em espiral

%armazena o valor de xo para manter fixo o perigeu
xp=a; %era xo;
%armazena o valor de yo para alterar a orbita
yp=b; %era yo;

%definicao das variaveis da elipse (foco, excentricidade e
distancia)
% a=xo;
% b=yo;
c=sqrt(a.^2-b.^2);
e=c/a;
daf=a.*(1+e); %distancia do apogeu ao foco
dpf=a.*(1-e); %distancia do perigeu ao foco
el=e;

%inicia o laço de repetição para fazer o giro completo na orbita
%for e2=e:0.06:e+6*(v-1)/100
e2=e; %condição inicial

```

```

    %define cor da órbita inicial
    cor='-k';
while dpf > af %executa a manobra ate que alcance o limite do a
definido (a final)

%definicao da orbita eliptica
a=a.*(1+e1)/(1+e2);
b=sqrt(a.^2-(e2.*a).^2);

for t=1:1:(n)
    w=2.*pi/(n);
    %raio=10;
    teta=w.*t;

%definicao da distancia do foco ao centro da elipse em orbita
    r=(a.*(1-e2.^2))/(1+e2.*cos(teta));

%define o centro de cada elipse na orbita eliptica
xe=e2.*a+(r.*cos(teta));%-(xp-xo);
ye=r.*sin(teta);%-(yp-yo);

%giro equivalente ao angulo percorrido da orbita
giro=-teta;
%definição do crescimento da elipse
ey=2;%+0.02*t*(red+1);
ex=1;%+0.01*t*(red+1);

%elipse base
x=(-ex):0.05:(ex);
ysup=ey.*sqrt(1-((x)/ex).^2);
yinf=-ey.*sqrt(1-((x)/ex).^2);

%elipse rotacionada e reposicionada de acordo com o centro (ex,ey)
x1=xe+x*cos(giro)+ysup.*sin(giro);
x2=xe+x*cos(-giro)+ysup.*sin(-giro);
ysup1=ye-x.*sin(giro)+ysup.*cos(giro);
yinf1=ye-x.*sin(giro)-ysup.*cos(giro);

%plotagem da figura de cada elipse modificada
plot(x1-(xp-a),ysup1);
hold on;
plot(x2-(xp-a),yinf1);
hold on;
end

%plotagem da orbita para referencia
ey=b;
ex=a;
x=(-ex):0.5:(ex);
ysup=ey.*sqrt(1-((x)/ex).^2);
yinf=-ey.*sqrt(1-((x)/ex).^2);
plot(x-(xp-a),ysup,cor);
hold on;

```

```

plot(x-(xp-a),yinf,cor);
hold on;
%define cor das órbitas de transferência
cor='-r';
%plotagem do foco de cada orbita
plot(e2.*a-(xp-a),0,'+g');
hold on;

%define valor de e com ultimo valor calculado
e1=e2;
e2=e2+0.06; %reduz excentricidade para reduzir a orbita
dpf=a.*(1-e2); %nova distancia do perigeu ao foco
end %laco while

%definição e plotagem da ultima orbita antes de entrar em espiral
%definição da orbita eliptica
a=a.*(1+e1)/(1+e2);
b=sqrt(a.^2-(e2.*a).^2);
for t=1:1:(n/2)
w=2.*pi/(n);
%raio=10;
teta=pi+(w.*t);
%definição da distancia do foco ao centro da elipse em orbita
r=(a.*(1-e2.^2))/(1+e2.*cos(teta));
%define o centro de cada elipse na orbita eliptica
xe=e2.*a+(r.*cos(teta));%-(xp-xo);
ye=r.*sin(teta);%-(yp-yo);
%giro equivalente ao angulo percorrido da orbita
giro=-teta;
%definição do crescimento da elipse
ey=2;%+0.02*t*(red+1);
ex=1;%+0.01*t*(red+1);
%elipse base
x=(-ex):0.05:(ex);
ysup=ey.*sqrt(1-((x)/ex).^2);
yinf=-ey.*sqrt(1-((x)/ex).^2);
%elipse rotacionada e reposicionada de acordo com o centro (ex,ey)
x1=xe+x*cos(giro)+ysup.*sin(giro);
x2=xe+x*cos(-giro)+ysup.*sin(-giro);
ysup1=ye-x.*sin(giro)+ysup.*cos(giro);
yinf1=ye-x.*sin(giro)-ysup.*cos(giro);
%plotagem da figura de cada elipse modificada
plot(x1-(xp-a),ysup1);
hold on;
plot(x2-(xp-a),yinf1);
hold on;
end
%plotagem da orbita para referencia
ey=b;
ex=a;
x=(-ex):0.5:(ex);
ysup=ey.*sqrt(1-((x)/ex).^2);
yinf=-ey.*sqrt(1-((x)/ex).^2);

```

```

%plot (x-(xp-a), ysup, '-k');
%hold on;
plot (x-(xp-a), yinf, '-r');
hold on;
%plotagem do foco de cada orbita
plot (e2.*a-(xp-a), 0, '+g');
hold on;
%fim da ultima orbita

%plotagem dos eixos x e y para orientaçao, respectivamente
plot (-(xp+15):1:(xp+15), 0, 'k');
plot (0, -(xp+15):1:(xp+15), 'k');
%igualando a escala dos eixos x e y
axis equal
%dpf=a.*(1-e1); retirado pois alterou o ultimo para orbita < af
c=sqrt(xp.^2-yp.^2); %foco inicial - ultimo termo da funçao
espiral, substituido para teste
espiral_breakwell(6,10,dpf,-0.05,e2.*a-(xp-a))

axis([-200 200 -150 150])
function end

```

#### Programa 4 :

```

function breakwell1(n,a,b,af)
%valores recebidos
%n=8; n. de elipses em 1 volta
%a -> semi-eixo horizontal
%b -> semi-eixo vertical
%af -> semi-eixo horizontal maximo para entrar em espiral
%armazena o valor de xo para manter fixo o perigeu
xp=a; %era xo;
%armazena o valor de yo para alterar a orbita
yp=b; %era yo;
%definicao das variaveis da elipse (foco, excentricidade e
distancia)
    c=sqrt(a.^2-b.^2);
    e=c/a;
    daf=a.*(1+e); %distancia do apogeu ao foco
    dpf=a.*(1-e); %distancia do perigeu ao foco
    e1=e;
%inicia o laço de repetição para fazer o giro completo na orbita
    e2=e; %condição inicial
    %define cor da órbita inicial
    cor='-k';
while dpf > af %executa a manobra ate que alcance o limite do a
definido (a final)
%definicao da orbita eliptica
    a=a.*(1+e1)/(1+e2);
    b=sqrt(a.^2-(e2.*a).^2);
for t=1:1:(n)

```

```

    w=2.*pi/(n);
    teta=w.*t;
%definicao da distancia do foco ao centro da elipse em orbita
    r=(a.*(1-e2.^2))/(1+e2.*cos(teta));
%define o centro de cada elipse na orbita eliptica
xe=e2.*a+(r.*cos(teta));%-(xp-xo);
ye=r.*sin(teta);%-(yp-yo);
%giro equivalente ao angulo percorrido da orbita
giro=-teta;
%definição do crescimento da elipse
ey=2;%+0.02*t*(red+1);
ex=1;%+0.01*t*(red+1);
%elipse base
x=(-ex):0.05:(ex);
ysup=ey.*sqrt(1-((x)/ex).^2);
yinf=-ey.*sqrt(1-((x)/ex).^2);
%elipse rotacionada e reposicionada de acordo com o centro (ex,ey)
x1=xe+x*cos(giro)+ysup.*sin(giro);
x2=xe+x*cos(-giro)+ysup.*sin(-giro);
ysup1=ye-x.*sin(giro)+ysup.*cos(giro);
yinf1=ye-x.*sin(giro)-ysup.*cos(giro);
%plotagem da figura de cada elipse modificada
plot(x1-(xp-a),ysup1);
hold on;
plot(x2-(xp-a),yinf1);
hold on;
end
%plotagem da orbita para referencia
ey=b;
ex=a;
x=(-ex):0.5:(ex);
ysup=ey.*sqrt(1-((x)/ex).^2);
yinf=-ey.*sqrt(1-((x)/ex).^2);
plot(x-(xp-a),ysup,cor);
hold on;
plot(x-(xp-a),yinf,cor);
hold on;
%define cor das órbitas de transferência
cor='-r';
%plotagem do foco de cada orbita
plot(e2.*a-(xp-a),0,'+g');
hold on;
%define valor de e com ultimo valor calculado
e1=e2;
e2=e2+0.06;    %reduz excentricidade para reduzir a orbita
dpf=a.*(1-e2); %nova distancia do perigeu ao foco
end %laco while

%definição e plotagem da ultima orbita antes de entrar em espiral
%definicao da orbita eliptica
    a=a.*(1+e1)/(1+e2);
    b=sqrt(a.^2-(e2.*a).^2);
for t=1:1:(n/2)

```

```

w=2.*pi/(n);
teta=pi+(w.*t);
%definicao da distancia do foco ao centro da elipse em orbita
r=(a.*(1-e2.^2))/(1+e2.*cos(teta));
%define o centro de cada elipse na orbita eliptica
xe=e2.*a+(r.*cos(teta));%-(xp-xo);
ye=r.*sin(teta);%-(yp-yo);
%giro equivalente ao angulo percorrido da orbita
giro=-teta;
%definição do crescimento da elipse
ey=2;%+0.02*t*(red+1);
ex=1;%+0.01*t*(red+1);
%elipse base
x=(-ex):0.05:(ex);
ysup=ey.*sqrt(1-((x)/ex).^2);
yinf=-ey.*sqrt(1-((x)/ex).^2);
%elipse rotacionada e reposicionada de acordo com o centro (ex,ey)
x1=xe+x*cos(giro)+ysup.*sin(giro);
x2=xe+x*cos(-giro)+ysup.*sin(-giro);
ysup1=ye-x.*sin(giro)+ysup.*cos(giro);
yinf1=ye-x.*sin(giro)-ysup.*cos(giro);
%plotagem da figura de cada elipse modificada
plot(x1-(xp-a),ysup1);
hold on;
plot(x2-(xp-a),yinf1);
hold on;
end
%plotagem da orbita para referencia
ey=b;
ex=a;
x=(-ex):0.5:(ex);
ysup=ey.*sqrt(1-((x)/ex).^2);
yinf=-ey.*sqrt(1-((x)/ex).^2);
%plot(x-(xp-a),ysup,'-k');
%hold on;
plot(x-(xp-a),yinf,'-r');
hold on;
%plotagem do foco de cada orbita
plot(e2.*a-(xp-a),0,'+g');
hold on;
%fim da ultima orbita
%plotagem dos eixos x e y para orientacao, respectivamente
plot(-(xp+15):1:(xp+15),0,'k');
plot(0,-(xp+15):1:(xp+15),'k');
%igualando a escala dos eixos x e y
axis equal
c=sqrt(xp.^2-yp.^2); %foco inicial -ultimo termo da função
espiral, substituindo para teste
espiral_breakwell(6,10,dpf,-0.05,e2.*a-(xp-a))
axis equal

xlabel('Distancia (Km)')
ylabel('Raio (Km)')

```

```
title('Transferencia Inversa de Breakwell')
text(2,103,'b=100km')
text(-145,-5,'a=150km')
text(-48,-92,'e1=0.7454')
text(-99,-70,'e2=0.8054')
text(2,-60,'e3=0.8654')
function end
```

**Apêndice C – Programas e simulações com força de arrasto atmosférico desenvolvido por  
Rolf Henry Vargas Valdivia em Matlab:**

**Programa 1:**

```
%transferencia com arrasto atmosferico
clear all
close all

opt = odeset('AbsTol',0.00001,'RelTol', 0.0000001);

x0 = [6378;12756 ; 0.5; 1.5];      % espaço xo inicial
mu = 398600;                      % a unidade de espaço e o km
r = [x0(1); x0(2)];               %x(1)= x = posição , x(4)=y =
posicao
mr = sqrt(x0(1)^2 + x0(2)^2);     % modulo do vetor posição
v = [x0(3); x0(4)];              %x(3)= xponto=velocidade ,
x(4)=yponto=velocidade
mv = sqrt(x0(3)^2+x0(4)^2);      % modulo do vetor velocidade
a = mr*mu/(2*mu-mr*mv^2);        % semi-eixo maior 'a'

periodo = 2*pi*sqrt((a^3)/398600);
tspan = [0:0.5:2.*periodo];

[t,x] = ode45('arrastol',tspan,x0,opt);

[t2,x2] = ode23s('arrasto2',tspan,x0);

figure(1)
plot(x(:,1),x(:,2));
title('Grafico da orbita com densidade cte (h=700 Km)')
zoom on

figure(2)
plot(x2(:,1),x2(:,2));
title('Grafico da orbita com densidade variavel')
zoom on

figure(3)
plot(x(:,1),x(:,2),'b',x2(:,1),x2(:,2),'r--');
title('Comparacao das duas Orbitas');
legend('Densi Cte','Densi Vari')
zoom on
```

**Programa 1.1 :**

```
%arrastol
function dx = f(t,x);
```

```

mu      = 398600; % a unidade de espaço e o km(parametro gravt da
terra)
r       = sqrt(x(1)^2 + x(2)^2); % modulo do vetor posição
%v      = [x(3); x(4)];          %x(3)= xponto=velocidade ,
x(4)=yponto=velocidade
mv      = sqrt(x(3)^2+x(4)^2); % modulo do vetor velocidade
%rt     = 6378;                 % raio da terra
raio    = 2;                    % raio do satellite
h       = 700;                  % altura %h= ra-rt; ra= h+rt;
cd      = 0.5;                  % coeficiente de arrasto
area    = (pi.*(raio^2));       % area do satellite
densi   =3.614*10^-14;          % densidade correspondente a altura
700

f = 0.5.*cd.*area.*densi.*mv^2; % equação da força de arrasto
atmosférico

dx      =[x(3);
          x(4);
          ((-mu/r^3).*x(1))-(f.*x(3)/mv);
          ((-mu/r^3).*x(2))-(f.*x(4)/mv)]; % vetor coluna

```

## Programa 1.2 :

```

%Arrasto2
function dx = f(t,x);

mu      = 398600; % a unidade de espaço e o km(parametro gravt da
terra)
r       = sqrt(x(1)^2 + x(2)^2); % modulo do vetor posição
%v      = [x(3); x(4)];          %x(3)= xponto=velocidade ,
x(4)=yponto=velocidade
mv      = sqrt(x(3)^2+x(4)^2); % modulo do vetor velocidade
%rt     = 6378;                 % raio da terra
raio    = 2;                    % raio do satellite
cd      = 0.5;                  % coeficiente de arrasto
area    = (pi.*(raio^2));       % area do satellite
h       = r-6378;

if h > 1000
    densi = 3.019*10^-15;
end
if h >900
    if h<=1000
        densi = 5.245*10^-15;
    end
end
if h >800
    if h<=900
        densi = 1.17*10^-14;
    end
end

```

```

    end
end
if h >700
    if h<=800
        densi = 3.614*10^-14;
    end
end
if h >600
    if h<=700
        densi = 1.454*10^-13;
    end
end
if h >500
    if h<=600
        densi = 6.967*10^-13;
    end
end
if h >400
    if h<=500
        densi = 3.725*10^-12;
    end
end
if h >300
    if h<=400
        densi = 2.418*10^-11;
    end
end
if h >200
    if h<=300
        densi = 2.789*10^-10;
    end
end
if h >180
    if h<=200
        densi = 5.464*10^-10;
    end
end
if h >160
    if h<=180
        densi = 1.244*10^-9;
    end
end
if h >150
    if h<=160
        densi = 2.070*10^-9;
    end
end
if h >140
    if h<=150
        densi = 3.845*10^-9;
    end
end
if h >130

```

```

        if h<=140
            densi = 8.484*10^-9;
        end
    end
end
if h >120
    if h<=130
        densi = 2.438*10^-8;
    end
end
if h >110
    if h<=120
        densi = 9.661*10^-8;
    end
end
if h >100
    if h<=110
        densi = 5.297*10^-7;
    end
end
if h<=100
    densi = 1.343*10^-6;
end

f = 0.5.*cd.*area.*densi.*mv^2; % equação da força de arrasto
atmosférico

dx    =[x(3);
        x(4);
        ((-mu/r^3).*x(1))-(f.*x(3)/mv);
        ((-mu/r^3).*x(2))-(f.*x(4)/mv)]; % vetor coluna

```

## Programa 2 :

```

%arrast

opt = odeset('AbsTol',0.00001,'RelTol', 0.0000001);

x = [6378;12756 ; 0.5; 1.5]; % espaço xo inicial
mu = 398600; % a unidade de espaço e o km
r = [x(1); x(2)]; %x(1)= x = posição , x(4)=y =
posicao
mr = sqrt(x(1)^2 + x(2)^2); % modulo do vetor posição
v = [x(3); x(4)]; %x(3)= xponto=velocidade ,
x(4)=yponto=velocidade
mv = sqrt(x(3)^2+x(4)^2); % modulo do vetor velocidade
a = mr*mu/(2*mu-mr*mv^2); % semi-eixo maior 'a'

periodo = 2*pi*sqrt((a^3)/398600);
tspan = [0:3.*periodo];

[t,x] = ode45('forma',tspan,x,opt);

```

```
plot(x(:,1),x(:,2))
zoom on
```

### Programa 2.1 :

```
%forma
function dx = f(t,x);

mu      = 398600;           % a unidade de espaço e o
km(parametro gravt da terra)
r       = sqrt(x(1)^2 + x(2)^2); % modulo do vetor posicao
v       = [x(3); x(4)];    %x(3)= xponto=velocidade ,
x(4)=yponto=velocidade
mv      = sqrt(x(3)^2+x(4)^2); % modulo do vetor velocidade
rt      = 6378;           % raio da terra
raio    = 2;             % raio do satelite
%h      = 700;           % altura %h= ra-rt; ra= h+rt;
cd      = 0.5;           % coeficiente de arrasto
area    = (pi.*(raio^2)); % area do satelite

%h=[0;
25;30;35;40;45;50;55;60;65;70;75;80;85;90;95;100;110;120;130;140;
%
150;160;180;200;250;300;350;400;450;500;600;700;800;900;1000];%
altura

%D=[8.44;6.49;6.75;7.07;7.47;7.83;7.95;7.73;7.29;6.81;6.33;6.00;5.
70;5.41;5.38;5.74;6.15;
%
8.06;11.6;16.1;20.6;24.6;26.3;33.2;38.5;46.9;52.5;56.4;59.4;62.2;6
5.8;79;109;164;225;
% 268]; % escala de altitude

densi =exp(-100/6.15);
f = 0.5.*cd.*area.*densi.*mv^2; % equação da força de arrasto
atmosférico

dx = [x(3);
      x(4);
      ((-mu/r^3).*x(1))-(f.*x(3)/mv);
      ((-mu/r^3).*x(2))-(f.*x(4)/mv)]; % vetor coluna
```

## Apêndice D - Estudo sobre a Integração Numérica de Equações Diferenciais Ordinárias

### D.1-Introdução

Este estudo foi baseado no capítulo 6 do livro Applied Numerical Methods pelos autores Carnahan B. , Luther H. A. e Wilkes J. O, 1969. Para um melhor entendimento dos métodos de integração numérica para a solução de equações diferenciais ordinárias, estudamos o 1º método de Euler e os métodos de Runge-Kutta de terceira e quarta ordem.

### D.2- 1º Método de Euler

Este é um método simples, responsável pela análise da propagação de erro, o passo para o método de Euler pode ser discutido em alguns detalhes, mesmo que precisão limitada impede seu uso para problemas práticos.

$$y_1 = y(x_0) + hf(x_0, y(x_0))$$

$$y_{i+1} = y_i + hf(x_i, y_i) = y_i + hf_i \quad i \geq 1$$

A solução através do intervalo  $[x_0, x_1]$  é assumido seguindo a linha tangente de  $y(x)$  em  $x_0$ .

Quando o 1º método de Euler é aplicado repetidamente através de vários intervalo em seqüência, a solução numérica desenha sobre a curva, um segmento com declive  $f_i$ ,  $i=0,1,2,\dots,n-1$ .

A figura C.1 mostra os conceitos apresentados pelo método:

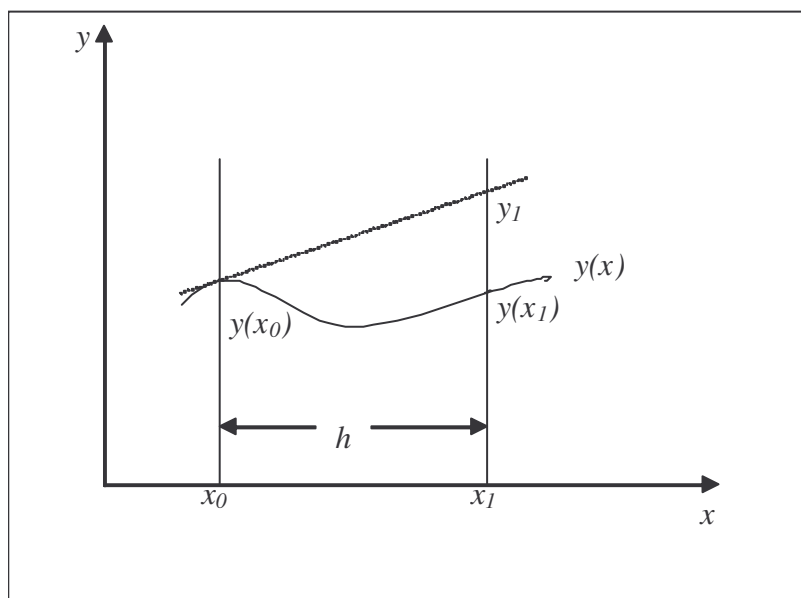


Figura D.1 – 1º Método de Euler

Temos como exemplo, a equação diferencial :

$$\frac{dy}{dx} = f(x, y) = x + y \quad (1)$$

Para a condição inicial  $x_0 = 0$ ,  $y(x_0) = y_0 = 0$ . Temos:

$$y = e^x - x - 1 \quad (2)$$

A solução pelo 1º Método de Euler é mostrada na Tabela D.1, usando o passo de  $h=0.1$  e o limite de integração  $x_{10} = 1.0$ . Utilizando as seguintes equações:

$$y_1 = y(x_0) + hf(x_0, y(x_0)) \quad (3)$$

$$y_{i+1} = y_i + hf(x_i, y_i) = y_i + hf_i \quad i \geq 1$$

De acordo com a tabela :

- A coluna 1 mostra o valor de  $i$ .
- A coluna 2 mostra o valor de  $x_i$ .
- A coluna 3 mostra o valor de  $y_i$  calculado pelas equações (3).
- A coluna 4 mostra o cálculo com equação (1) da derivada  $f(x_i, y_i)$ .
- A coluna 5 mostra a verdadeira solução analítica arredondada de  $y(x_i)$  para quatro algarismos, usando a equação  $y = e^x - x - 1$ .
- A coluna 6 mostra o erro global calculado por  $E_i = y_i - y(x_i)$ .
- A coluna 7 mostra o truncamento de  $y_i$  para quatro algarismos.
- A coluna 8 mostra o arredondamento de  $y_i$  para quatro algarismos.
- A coluna 9 mostra o valor calculado pela equação (3) usando  $y(x_{i-1})$ , com o valor verdadeiro  $y(x_i)$ .
- A coluna 10 mostra o erro de truncamento calculado por  $E_i = y(x_{i-1}) - y(x_i)$ , com o valor verdadeiro  $y(x_i)$ .
- A coluna 11 mostra o valor do erro de truncamento local calculado por:

$$|e_t|_{\max} = \frac{h^2}{2!} e^{x_i+1} \quad \text{Sendo } x = x_{i+1} \quad (4)$$

Tabela D.1 – 1o Método de Euler

y(0)=0			h=0.1							
i (1)	x <sub>i</sub> (2)	y <sub>i</sub> (3)	f(x <sub>i</sub> ,y <sub>i</sub> ) (4)	y(x <sub>i</sub> ) (5)	E <sub>i</sub> = y <sub>i</sub> - y(x <sub>i</sub> ) (6)	y <sub>i</sub> (7)	y <sub>i</sub> (8)	y(x <sub>i</sub> -1) (9)	y(x <sub>i</sub> -1) (10)	e <sup>x</sup> <sub>max</sub> (11)
0	0.0	0.0000	0.0000	0.0000	0.0000	0.0000	0.0000	0.0000	-	-
1	0.1	0.0000	0.1000	0.0052	-0.0052	0.0000	0.0000	0.0000	-0.0052	0.0055
2	0.2	0.0100	0.2100	0.0214	-0.0114	0.0100	0.0100	0.0157	-0.0057	0.0061
3	0.3	0.0310	0.3310	0.0499	-0.0189	0.0310	0.0310	0.0435	-0.0064	0.0067
4	0.4	0.0641	0.4641	0.0918	-0.0277	0.0641	0.0641	0.0849	-0.0069	0.0075
5	0.5	0.11051	0.61051	0.1487	-0.0382	0.1105	0.1105	0.1410	-0.0077	0.0082
6	0.6	0.171561	0.771561	0.2221	-0.0505	0.1715	0.1715	0.2136	-0.0085	0.0091
7	0.7	0.2487171	0.9487171	0.3138	-0.0651	0.2486	0.2488	0.3043	-0.0095	0.0101
8	0.8	0.34358881	1.14358881	0.4255	-0.0819	0.3434	0.3437	0.4152	-0.0103	0.0111
9	0.9	0.457947691	1.357947691	0.5596	-0.1017	0.4577	0.4581	0.5480	-0.0116	0.0123
10	1.0	0.5937424601	1.5937424601	0.7183	-0.1246	0.5934	0.5939	0.7056	-0.0127	0.0136

Na Tabela D.2 foram realizados os mesmos cálculos da tabela anterior, desenvolvidos para um melhor entendimento e acompanhamento do 1º Método de Euler usando o Microsoft Excel versão 97.

Tabela D.2 - 1º Método de Euler calculado pelo Excel

y(0)=0			h=0.1							
i (1)	x <sub>i</sub> (2)	y <sub>i</sub> (3)	f(x <sub>i</sub> ,y <sub>i</sub> ) (4)	y(x <sub>i</sub> ) (5)	E <sub>i</sub> = y <sub>i</sub> - y(x <sub>i</sub> ) (6)	y <sub>i</sub> (7)	y <sub>i</sub> (8)	y(x <sub>i</sub> -1) (9)	y(x <sub>i</sub> -1) (10)	e <sup>x</sup> <sub>max</sub> (11)
0	0	0	0	0	0	0	0	0	-	0.005
1	0.1	0	0.1	0.0052	-0.0052	0	0	0	-0.0052	0.0055
2	0.2	0.01	0.21	0.0214	-0.0114	0.01	0.01	0.0157	-0.0057	0.0061
3	0.3	0.031	0.331	0.0499	-0.0189	0.031	0.031	0.0435	-0.0064	0.0067
4	0.4	0.0641	0.4641	0.0918	-0.0277	0.0641	0.0641	0.0849	-0.0069	0.0075
5	0.5	0.11051	0.61051	0.1487	-0.0382	0.1105	0.1105	0.141	-0.0077	0.0082
6	0.6	0.171561	0.771561	0.2221	-0.0505	0.1715	0.1715	0.2136	-0.0084	0.0091
7	0.7	0.2487171	0.9487171	0.3138	-0.0651	0.2486	0.2488	0.3043	-0.0095	0.0101
8	0.8	0.34358881	1.14358881	0.4255	-0.0819	0.3434	0.3437	0.4152	-0.0103	0.0111
9	0.9	0.457947691	1.357947691	0.5596	-0.1017	0.4577	0.4581	0.5481	-0.0115	0.0123
10	1.0	0.59374246	1.59374246	0.7183	-0.1246	0.5934	0.5939	0.7056	-0.0127	0.0136

### D.3 - Método de Runge-Kutta

É possível desenvolver um procedimento de um passo que envolve somente cálculos da derivada de primeira-ordem. Estes algoritmos são chamados de Runge-Kutta. As aproximações de segunda, terceira e quarta ordens (isso é, a aproximação com precisão equivalente à Expansão de Taylor de y(x) mantendo o termo em h<sup>2</sup>, h<sup>3</sup> e h<sup>4</sup>, respectivamente), requer a estimação de f(x,y) em dois, três e quatro valores, respectivamente, de x no intervalo x<sub>i</sub> ≤ x ≤ x<sub>i+1</sub>.

Todo Método de Runge-Kutta tem algoritmo de forma:

$$y_{i+1} = y_i + h\phi(x_i, y_i, h) \quad (5)$$

sendo  $\phi$  o incremento da função para aproximação de  $f(x,y)$  sobre intervalo  $x_i \leq x \leq x_{i+1}$ .

### Runge-Kutta de 3ª ordem:

Sendo  $K_1, K_2$  e  $K_3$  aproximações da derivada em diversos pontos sobre o intervalo de integração  $[x_i, x_{i+1}]$ .

$$\begin{aligned} y_{i+1} &= y_i + \frac{h}{6}(k_1 + 4k_2 + k_3) \\ k_1 &= f(x_i, y_i) \\ k_2 &= f\left(x_i + \frac{1}{2}h, y_i + \frac{1}{2}hk_1\right) \\ k_3 &= f(x_i + h, y_i + 2hk_2 - hk_1) \end{aligned} \quad (6)$$

### Runge-Kutta de 4ª ordem:

Sendo  $K_1, K_2, K_3$  e  $K_4$  aproximações da derivada em diversos pontos sobre o intervalo de integração  $[x_i, x_{i+1}]$ .

$$\begin{aligned} y_{i+1} &= y_i + \frac{h}{6}(k_1 + 2k_2 + 2k_3 + k_4) \\ k_1 &= f(x_i, y_i) \\ k_2 &= f\left(x_i + \frac{1}{2}h, y_i + \frac{1}{2}hk_1\right) \\ k_3 &= f\left(x_i + \frac{1}{2}h, y_i + \frac{1}{2}hk_2\right) \\ k_4 &= f(x_i + h, y_i + hk_3) \end{aligned} \quad (7)$$

### Runge-Kutta de 4ª ordem:

Sendo  $K_1, K_2, K_3$  e  $K_4$  aproximações da derivada em diversos pontos sobre o intervalo de integração  $[x_i, x_{i+1}]$ .

$$\begin{aligned} y_{i+1} &= y_i + \frac{h}{8}(k_1 + 3k_2 + 3k_3 + k_4) \\ k_1 &= f(x_i, y_i) \\ k_2 &= f\left(x_i + \frac{1}{3}h, y_i + \frac{1}{3}hk_1\right) \\ k_3 &= f\left(x_i + \frac{2}{3}h, y_i - \frac{1}{3}hk_1 + hk_2\right) \\ k_4 &= f(x_i + h, y_i + hk_1 - hk_2 + hk_3) \end{aligned} \quad (8)$$

Para um melhor desenvolvimento e entendimento do Método, na Tabela D.3 estão contidos todos os cálculos utilizando o Método Runge-Kutta usando o Microsoft Excel versão 97, considerando a equação diferencial:

$$\frac{dy}{dx} = f(x, y) = x + y$$

De acordo com a Tabela D.3:

- A coluna 1 mostra o valor de  $i$ .
- A coluna 2 mostra o valor de  $x_i$ .
- A coluna 3 mostra o valor de  $y_i$  calculado pelas equações(6) do Runge-Kutta de 3ª ordem.
- A coluna 4 mostra o  $y_i$  de 3ª ordem arredondado para quatro algarismo, com equação(6).
- A coluna 5 mostra o valor de  $y_i$  calculado pelas equações(7) do Runge-Kutta de 4ª ordem.
- A coluna 6 mostra o  $y_i$  de 4ª ordem arredondado para quatro algarismo, com equação(7).
- A coluna 7 mostra o valor de  $y_i$  calculado pelo Runge-Kutta de 4ª ordem, com a equação (8).
- A coluna 8 mostra o  $y_i$  de 4ª ordem arredondado para quatro algarismos, com a equação (8).
- A coluna 9 mostra o  $y_i$  analítico.
- A coluna 10 mostra o  $y_i$  analítico arredondado.

Tabela D.3 - Método de Runge-Kutta calculado pelo Excel

		y(0)=0				h=0.1			
$i$ (1)	$x_i$ (2)	$y_i$ 3ª ordem (3)	$y_i$ arred (4)	$y_i$ 4ª ordem (5)	$y_i$ arred (6)	$y_i$ 4ª ordem (7)	$y_i$ arred (8)	$y_i$ Analítico (9)	$y_i$ Analítico arred (10)
0	0	0	0	0	0	0	0	0	0
1	0.1	0,005166667	0,0052	0,005170833	0,0052	0,005170833	0,0052	0,005170918	0,0052
2	0.2	0,021393361	0,0214	0,021402571	0,0214	0,021402571	0,0214	0,021402758	0,0214
3	0.3	0,04984323	0,0498	0,049858497	0,0499	0,049858497	0,0499	0,049858808	0,0499
4	0.4	0,091801743	0,0918	0,09182424	0,0918	0,09182424	0,0918	0,091824698	0,0918
5	0.5	0,148689559	0,1487	0,148720639	0,1487	0,148720639	0,1487	0,148721271	0,1487
6	0.6	0,222076744	0,2221	0,222117962	0,2221	0,222117962	0,2221	0,2221188	0,2221
7	0.7	0,313698482	0,3137	0,313751627	0,3138	0,313751627	0,3138	0,313752707	0,3138
8	0.8	0,425472439	0,4255	0,425539563	0,4255	0,425539563	0,4255	0,425540928	0,4255
9	0.9	0,559517957	0,5595	0,559601414	0,5596	0,559601414	0,5596	0,559603111	0,5596
10	1.0	0,718177262	0,7182	0,718279744	0,7183	0,718279744	0,7183	0,718281828	0,7183

#### D.4-Conclusão

No Método de Runge-Kutta o erro está a partir da quarta casa decimal, no Método de Euler o erro está na primeira casa decimal, para o mesmo número de iterações. Conclui-se então que o método de Runge-Kutta tem uma melhor precisão em seus resultados.

## Apêndice E - Estudo sobre MATLAB

### E.1 - Introdução

Trabalhamos com o programa Matlab usando a apostila da versão 5.1 do MATLAB Introdução à Solução de Problemas de Engenharia, para simular e entender melhor os programas de transferência inversa de Hohmann e transferência inversa de Breakwell. Foi realizado um estudo na definição de matrizes, cálculos fundamentais e gráficos.

**E.2 - Definição de Matrizes no MATLAB:** Quando definimos uma matriz, os valores das linhas podem estar separados por vírgulas ou por espaços. Assim, as matrizes A, B, C e D usando o MATLAB serão representadas por:

A = [2,6,8,1];

B = [8,10,1,3];

C=[1,2,2;4,1,2;5,6,8];

D=[3,0,0;2,4,5;6,2,1];

**E.3 - Cálculos Fundamentais:** As operações de adição, subtração, multiplicação e divisão são a maioria das operações fundamentais. Estas operações podem ser executadas sobre um valor simples (um escalar), aplicadas a uma lista de valores (vetor), ou aplicadas a um grupo de valores armazenados em uma matriz.

Adição e Subtração de Matrizes:

» A=[2,6,8,1];

» B=[8,10,1,3];

A+B

ans =

10 16 9 4

» A-B

ans =

-6 -4 7 -2

Multiplicação de Matrizes:

» A=[2,6,8,1];

» B=[8,10,1,3];

» A.\*B

ans =

16 60 8 3

Divisão de Matrizes: O MATLAB tem dois operadores de divisão, o comando para divisão direita:

```
» A=[2,6,8,1];  
» B=[8,10,1,3];  
» A./B  
ans =
```

```
0.2500  0.6000  8.0000  0.3333
```

O comando para divisão *esquerda*:

```
A.\B
```

```
ans =  
4.0000  1.6667  0.1250  3.0000
```

Determinante de Matrizes:

```
» C=[1,2,2;4,1,2;5,6,8];  
» D=[3,0,0;2,4,5;6,2,1];  
» det(C)
```

```
ans =
```

```
-10
```

```
» det(C+D)
```

```
ans =
```

```
-12
```

```
» det(C.*D)
```

```
ans =
```

```
-264
```

**E.4 - Gráficos X-Y** :Usando o MATLAB para plotar gráficos, gerando um simples gráfico x-y de dados armazenados em dois vetores.Suponha que queira plotar os dados de temperatura a seguir coletados em uma experiência de física:

Tempo, s	Temperatura, °C
0	54.2
1	58.5
2	63.8
3	64.2
4	67.3
5	71.5
6	88.5
7	90.1
8	90.6
9	89.5
10	90.4

Para plotar estes pontos, simplesmente usamos o comando *plot* , onde *x* e *y* são vetores-linha ou vetores-coluna.

```
plot(x, y)
```

```
A =
```

```
    0 54.2000
  1.0000 58.5000
  2.0000 63.8000
  3.0000 64.2000
  4.0000 67.3000
  5.0000 71.5000
  6.0000 88.5000
  7.0000 90.1000
  8.0000 90.6000
  9.0000 89.5000
 10.0000 90.4000
```

```
» x=A(:,1)
```

```
x =
```

```
0
1
2
3
4
5
6
7
8
9
10
```

```
» y=A(:,2)
```

```
y =
```

```
54.2000
58.5000
63.8000
64.2000
67.3000
71.5000
88.5000
90.1000
90.6000
89.5000
90.4000
```

```
plot(x,y)
```

```

» title('Laboratório de Física-Experiência1')
» xlabel('Tempo,s')
» ylabel('Temperatura, graus Celsius')
» grid

```



Figura E.1 – Gráfico X-Y

## E.5 - Equações Diferenciais Ordinárias

A equação diferencial (ODE) é uma equação que pode ser escrita na seguinte forma:

$$y' = \frac{dy}{dx} = f(x, y)$$

onde  $x$  é a variável independente.

A equação diferencial descreve como a taxa de variação das variáveis de um sistema são influenciadas por variáveis do sistema e por estímulos, ou seja, por entradas.

As técnicas numéricas mais comuns para resolver equações diferenciais ordinárias, são o método de Euler e o método de Runge-Kutta. Tanto o método de Euler quanto o método de Runge-Kutta aproximam a função utilizando-se da expansão em série de Taylor.

### E.5.1 - Método de Runge - Kutta

Os métodos mais populares para a integração da equação diferencial de primeira ordem são os métodos de Runge - Kutta. Esses métodos de aproximação de uma função se usam da expansão por série de Taylor.

#### - Comando ode

O Matlab contém dois comandos para calcular soluções numéricas para equações diferenciais ordinárias: ode23 e ode45; o comando ode23 usa o método de Runge - Kutta para equações diferenciais de segunda e terceira ordem; o comando ode45 usa o método de Runge - Kutta para equações diferenciais de quarta e quinta ordem. Os comandos ode23 e ode45 possuem os mesmos tipos de argumentos.

A função ode45 é sempre a primeira candidata a ser usada na solução de um problema. Isso requer que escrevamos um arquivo M de função que retorna as derivadas, dados o tempo atual e os valores atuais do  $y_1$  e  $y_2$ .

**Exemplo 1:** Considerando a seguinte equação diferencial:

$$\frac{dy}{dx} = x + y$$

seja:  $y_1 = x$                        $y_2 = y$

então:  $\frac{dy_1}{dx} = 1$                        $\frac{dy_2}{dx} = x + y$

O arquivo M de função é mostrado a seguir:

```
function yponto=kutta(t,y)
%equação dy/dx=x+y
% ('= d/dx, ''=d^2/dx^2)
% façamos y(1)=x e y(2)=y
%
% então y(1)'=1
% y(2)'= y(1)+y(2)

yponto=[1;y(1)+y(2)]; % vetor coluna
```

Depois na tela do Matlab é dado o tempo e condições iniciais, a solução é calculada:

```
tspan=[0 1];
y0=[0;0];
[t,y]=ode45('kutta',tspan,y0)
plot(t,y)
```

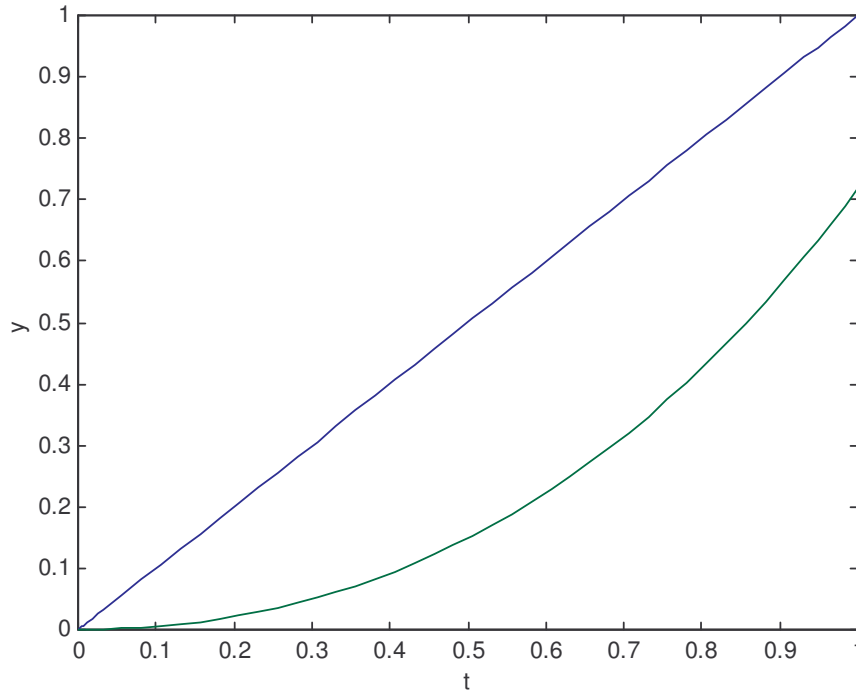


Figura E.2 – Resolução da Equação Diferencial

**Exemplo 2:** Vamos considerar a clássica equação diferencial de Van der Pol, que descreve um oscilador:

$$\frac{d^2x}{dt^2} - \mu(1 - x^2)\frac{dx}{dt} + x = 0$$

Para a resolução de equações diferenciais de ordem superior devem ser reescritas em termos de um conjunto equivalente de equações diferenciais de primeira ordem. Isso é obtido pela definição de duas novas variáveis:

$$y_1 = x \qquad y_2 = \frac{dx}{dt}$$

então:

$$\frac{dy_1}{dt} = y_2 \qquad \frac{dy_2}{dt} = \mu(1 - y_1^2) - y_2$$

Dessa forma,  $y_1$  e  $y_2$  são escritos como um vetor coluna  $y$ . Logo o arquivo M de função resultante é:

```
function yponto=vonder(t,y)
%equação van der Pol
% ('= d/dx, ''=d^2/dx^2)
% façamos y(1)=x e y(2)=x'
%
% então y(1) '=y(2)
% y(2) '=mu*(1-y(1)^2)*y(2)-y(1)

mu=2;
yponto=[y(2);mu*(1-(y(1)).^2)*y(2)-y(1)]; % vetor coluna
```

Depois na tela do Matlab é dado o tempo e condições iniciais, a solução é calculada:

```
tspan=[0 20];
y0=[2;0];
[t,y]=ode45('vonder',tspan,y0);
plot(t,y)
```

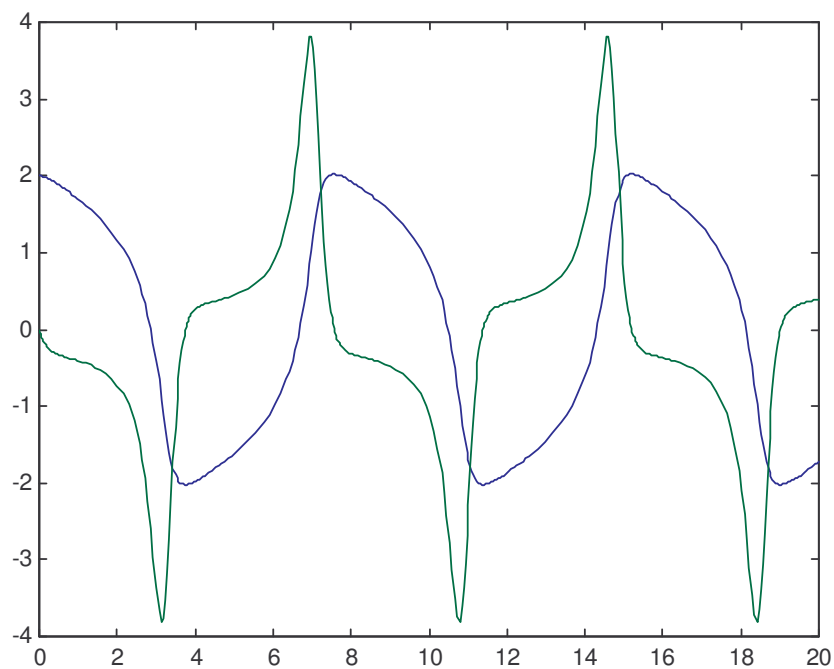


Figura E.3 – Equação Diferencial de Van Der Pol

## E.6 - Conclusão

O estudo do Matlab foi realizado para uma maior compreensão dos programas que foram executados no trabalho, tendo como objetivo de aprender a desenvolver programas no Matlab.